

KARADENİZ TEKNİK ÜNİVERSİTESİ * FEN BİLİMLERİ ENSTİTÜSÜ

KİMYA ANABİLİM DALI

KİMYA PROGRAMI

ISI POMPALARINDA KULLANILABİLECEK ISI DEPOLAYICI MADDELERİN
ARAŞTIRILARAK EN UYGUN OLANININ BELİRLENMESİ

YÜKSEK LİSANS TEZİ

4228

Kim.Müh. Kamil KAYGUSUZ

HAZİRAN 1988

T. C.
Tükseköğretim Kurulu
Dokümantasyon Merkezi

TRABZON

KARADENİZ TEKNİK ÜNİVERSİTESİ * FEN BİLİMLERİ ENSTİTÜSÜ

KİMYA ANAKİLİM DALI

KİMYA PROGRAMI

İSİ POMPALARINDA KULLANILABİLECEK İSİ DEPOLAYICI MADDELERİN
ARAŞTIRILARAK EN UYGUN OLANININ BELİRLENMESİ

Kimya Müh. Kâmil KAYGUSUZ

Karadeniz Teknik Üniversitesi Fen Bilimleri Enstitüsünde
"Yüksek Lisans (Kimya)"

Ünvanının Verilmesi İçin Kabul Edilen Tezdir

Tezis Eustitüye Verildiği Tarih : 17/06/1988

Tezis Sözlü Savunma Tarihi : 08/07/1988

Tez Danışmanı : Doç.Dr. Nurbay GÜLTEKİN

Jury Üyesi : Yrd.Doç.Dr. Oktay TORUL

Jury Üyesi : Yrd.Doç.Dr. H.Basri SENTÜRK

Enstitü Müdürü : Prof.Dr. Doğan TURHAN

HAZİRAN 1988

TRABZON

ÖNSÖZ

K.T.Ü Araştırma Fonu tarafından desteklenen bu çalışma Makina ve Kimya Bölümü Laboratuvarlarında gerçekleştirilmiştir.

Bu çalışmanın yapılmasında baştan sona desteğini esirgemeyen Sayın Hocam Doç.Dr. Nurbay GÜLTEKİN'e şükranlarımı sunarım.

Ayrıca Makina Bölümü Termodinamik Anabilim Dalı öğretim üyesi Sayın Doç.Dr. Teoman AYHAN Beye ve aynı kursunun Laboratuvar teknisyeni Sayın Veysel KAZAZ Beye teşekkür ederim.

İÇİNDEKİLER

Sayfa No

ÖZET	IV
SUMMARY	V
BÖLÜM 1.GİRİŞ.....	1
1.2. İSİ POMPALARININ TARİHÇESİ VE GELİŞİMİ.....	1
1.3. İSİ POMPALARININ TEORİSİ.....	2
1.4. İSİ POMPALARININ EKONOMİSİ.....	19
BÖLÜM 2.DENEYSEL KISIM.....	25
2.1.Kullanılan Maddeler.....	25
2.2.Kullanılan Aletler.....	25
2.3.Deneylerin Yapılışı.....	28
BÖLÜM 3.DENEY SONUÇLARI.....	36
3.1.Tuz Hidratlarının İSİ Depolama Kapasiteleri.....	37
BÖLÜM 4.TARTIŞMA VE SONUÇ.....	61
KAYNAKLAR.....	63
ÖZGEÇMİŞ.....	64

ÖZET

Bu çalışmada, evlerin ısıtılmasında kullanılan ısı pompalarına ısı kaynağı olabilecek çeşitli kimyasal maddeler araştırıldı. Isı kaynağı olarak havayı kullanan ısı pompasının ısıtma kapasitesi, ısı ihtiyacının az olduğu zamanlarda büyük, ısı ihtiyacının fazla olduğu zamanlarda küçük olmaktadır. Bu nedenle, ısıya ihtiyaç olmadığı zamanlarda ısı $\text{CaCl}_2 \cdot 6\text{H}_2\text{O}$ 'ın füzyon gizli ısısı halinde depo ederek gerekli olduğu zamanlarda kullanmak ekonomik bir yöntemdir.

Bölüm 2'de görüldüğü gibi evlerin ısıtılmasında kullanılan ısı pompaları için çeşitli ısı kaynakları kullanılabilir. Ancak kullanılacak olan ısı kaynağı hem bol ve ucuz olmalı hemde günlük yada sezonluk sıcaklık değişimlerinden etkilenmemelidir. Aksi takdirde ısı ihtiyacının fazla olduğu zamanlarda COP (Performans katsayısı) değeri azalır. Birincil enerji kaynağı veya elektrikle direkt ısıtmanın pahali olması alternatif çözümlerin araştırılmasını zorunlu hale getirmektedir. Evlerin ısı pompalarıyla ısıtılması için bu problemin en iyi çözümü yaz ayalarında ve güneşli günlerde toplanan ısıyı depolayarak soğuk günlerde kullanmaktır. Isıyi depolamak için pek çok depolama ortamı vardır. Fakat ısı depolamak için maddelerin füzyon ısısını kullanmak daha uygundur. Uygun ısı depolama sisteminin seçimini etkileyen en önemli faktörler ısı depolama kapasitesi ve erime noktasının düşüklüğündür.

Bu çalışmada, füzyon ısısına sahip maddelerin erime noktaları, gizli ısılı ve ısı depolama kapasiteleri ölçüldü. Deney sonuçları Tablo.3.1 ; Tablo.3.2 ; 3.3 ; 3.4 ; 3.5 ve Şekil.3.1 ; 3.2 ; 3.3 ; 3.4 ; 3.5'de görülmektedir. Tablodan görüldüğü gibi konutların ısıtılmasında füzyon ısı ortamı (yahut materyalî) olarak kullanımına uygun olan ve öngörülen çalışma sıcaklığı aralığına sahip olan madde seçilebilir.

SUMMARY

Heat Storage Materials Which Can be Used In Heat Pumps are Investigated In Order to Select The Best Suitable Material

In this work, various chemical substances which are the most sensitive for dynamic heat storage for domestic heat pump systems have been investigated. The capacity of the air-source heat pump is greatest when its heat requirement is least and vice versa. Therefore, it is conceivable that its excess heat could be stored using latent heat of fusion of $\text{CaCl}_2 \cdot 6\text{H}_2\text{O}$ during low heat demand periods for use during high demand period. The result would be a smaller unit approaching continuous operation.

As has been shown in chapter 2, the heat sources available for domestic heat pump systems, if they are to be commercially attractive to manufacturers wishing to produce in quantity, are susceptible to seasonal and daily temperature variations which unfortunately lead to lower COP's (Coefficient of performance) at times when the building heating demand is greatest. The expense of direct supplement electric heating and primary energy source have led to the search for alternative solutions. The best solution of this problem for domestic heat pump system is the storage of heat collected during the summer, or on winter days when solar energy can be effectively utilized. There are various heat storage media but the use of the heat of fusion of materials for heat storage, as with sensible heat storage techniques is determined largely by the volume capacity and low melting point of material.

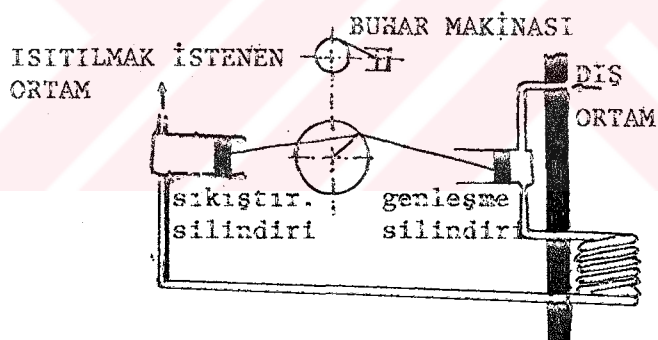
In this work, the latent heat, heat storage capacity, melting points of sensible fusion materials have been measured. The results of experiments are shown in Table 3.1; 3.2; 3.3; 3.4 and 3.5 and Figure 3.1; 3.2, 3.3, 3.4 and 3.5. It can be seen from the Table that heat of fusion media (or material) can be selected to cover a reasonable range of operating temperatures appropriate to domestic use.

BÖLÜM 1
ISI POMPASI

1.1. Isı Pompalarının Tarihçesi ve Gelişimi

Isı pompasının temel prensibi 19.yy başlarında Carnot tarafından ortaya atıldı ve ilk defa 1924 yılında yayıldı. Pratik bir ısı pompa sistemi ise ilk defa Thomson tarafından önerildi. Thomson'un önerdiği ısı pompa "ısı yükseltici" olarak adlandırılmaktaydı ve amacı soğutma makinesi kullanarak aynı zamanda ısıtma işlemini gerçekleştirmekti.

Lord Kelvin'in havayı iş gören akışkan olarak kullandığı bu sistemde dış ortamın havası bir silindire çekilerek genləstirilmiştir. Bu sırada sıcaklığı ve basıncı düşen hava dış ortama yerleştirilen bir ısı değiştiricisinden geçerken ortamdan ısı alır. Isınan hava tekrar atmosfer basıncına sıkıştırılarak aldığı isiyi odaya verir.



Şekil.1.1. Isı yükseltici

Ancak hava sıkıştırıldığından sıcaklığı normal atmosfer sıcaklığından caha fazladır. Lord Kelvin bu makinenin başarıyla uygulanacağını ve doğrudan yanma ile bir evin isıtması için harcanan enerjinin %3 ile aynı evin ısıtılmasının mümkün olabileceğiğini iddia etmiştir (Reay ve diğ., 1979).

20.yy da sistemin soğutucu kısımları ile ilgili gelişmesi 1920-1930 yılları arasında olmuştur. 1927 de Haldane Scotland'da bu konuya ilgili çalışmalar yapmıştır. Önce İngiltere de, daha sonra 1939 da Zürich de seri üretime geçilmiştir. Bu dönemdeki ısı pompalarında ısı kaynağı olarak nehir suyu kullanılmıştır. Bu ısı pompalarında kompresör olarak döner kompresör ve devridaim sıvısı olarak da R-12 kullanılmıştır. O dönemde 175 Kw lik bir sistem Zürich belediye binasının ısıtılmasında denetimli ve su sıcaklığının 60°C ye çıktığı gözlenmiştir.

T. C.

Yükseköğretim Kurulu
Mühendislik ve Mühendislik Mekanik

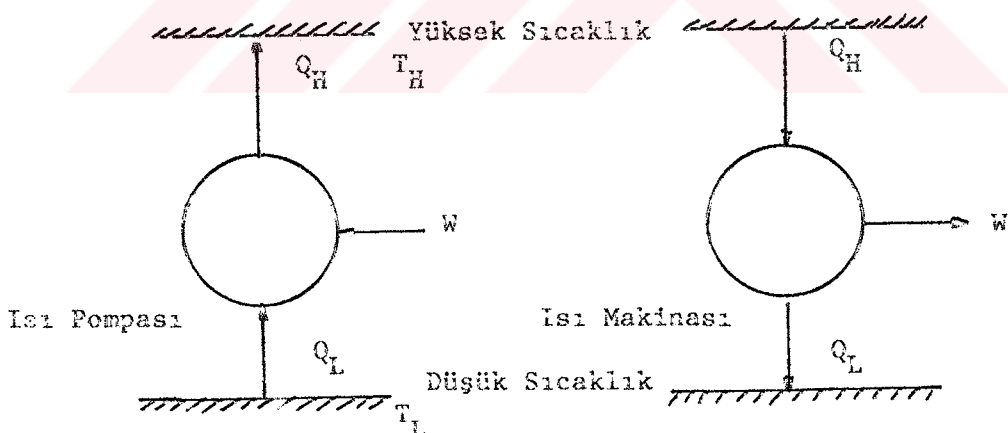
İngiltere de kullanılan ısı pompaları genelde elektrik enerjisiyle çalışmaktadır. İsi pompası için ısı kaynağı olarak nehir suyu ve sıcak su kullanmaktadır. Oxford'da Nuffield Collage 1954 de ısı pompalarına ısı kaynağı olarak lağım sularını kullanmıştır. (Sumner, 1976)

Amerika'da ise, Carrier firması ilk paket tipi ısı pompasını yapmasına karşın, ikinci Dünya Savaşı nedeniyle çalışmalar durmuştur. İlk paket tipi ısı pompası piyasaya 1951 yılında sunulmuştur. Daha sonraki yıllarda gelişmeler artarak devam etmiş ve 1980'li yıllarda yıllık üretim bir milyon adetin üzerine çıkmıştır. Günümüzde en çok ısı pompası kullanan ülkeler A.B.D ve Japonyadır. Bilhassa bu ülkelerin güney bölgelerinde ısı pompaları ısıtma ve soğutma amacıyla yaygın olarak kullanılmaktadır. (Reay, 1979)

Ülkemizde ise ısı pompaları oldukça yeni olup henüz gelişme safhasındadır. Sadece soğutma amacıyla soğuk hava depolarında kullanılmaktadır. Hem ısıtma ve hem soğutma amacı ile kullanılmaları ise ülkemizde fazla yaygın değildir.

1.2. İsi Pompalarının Teorisi

İsi pompası, basit olarak ısı makinasının tersi şeklinde düşünülebilir. İsi makinaları, yüksek sıcaklığındaki ısı kaynağından düşük sıcaklığındaki ısı kaynağına ısı aktarırken iş üreten makinalardır. İsi pompaları ise, dışarıdan iş alarak düşük sıcaklığındaki bir ısı kaynağından yüksek sıcaklığındaki kaynağa ısı naklederler.

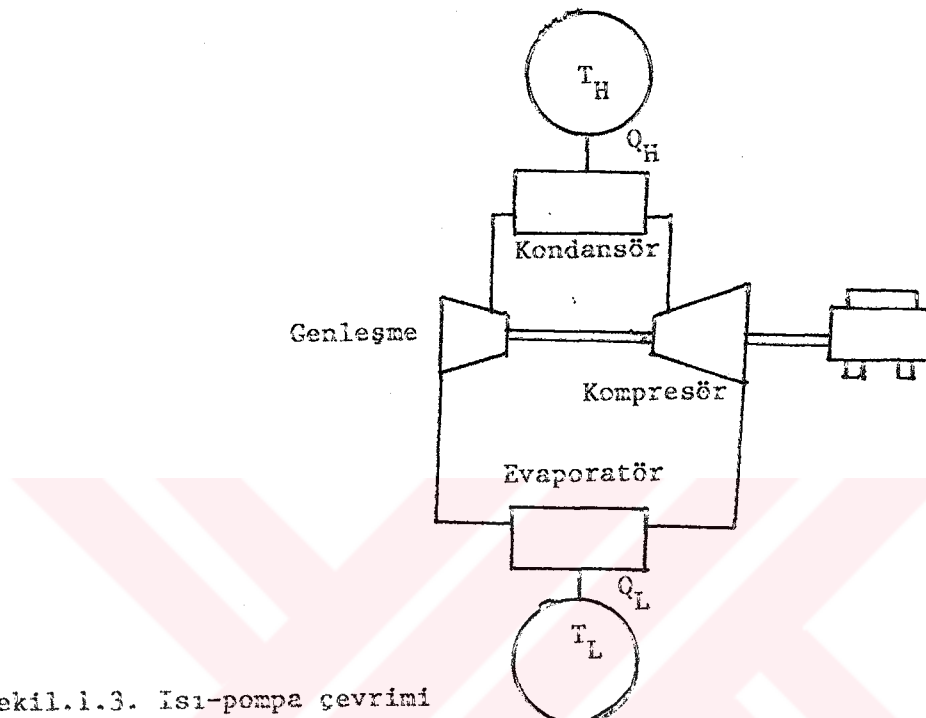


Şekil.1.2. İsi pompası ve İsi makinesinin Termodinamik modeli

Her iki makine de Q / W oranı aynıdır. Bunun için bu oran çok önemlidir. İsi makinalarında bu oran W/Q_H olarak verilir ve buna termik verim denir. İsi pompalarında ise Q_H/W oranı olarak bilinir ve bu orana performans kat-sayıısı (COP: alınan ısının pompalama sırasında kullanılan işe oranı) denir.

1.2.1. Çevrim

Komresörden yüksek sıcaklık ve basınçta çıkan buhar yoğunlaştırıcıda buharlaşma ısısını bırakarak yoğunlaşır. Genleşme vanasında genleştirilmiş olarak düşük basınçlı ısı değiştiricisine (buharlaştırıcıya) gelir. Buharlaştırıcıda düşük sıcaklıkta ısı absorblayıp tekrar buhar haline gerek yüksek basınçlı komresöre pompalanır. Böylece çevrim tamamlanmış olur.



Şekil.1.3. İsi-pompa çevrimi

Her iki ısı değiştiricisindeki basınç ve sıcaklık birbirinden çok farklı ise pomپaya dışardan daha fazla iş verilmesi gereklidir. İki ısı kaynağı arasındaki sıcaklık farkının yükselmesi ile performans katsayısı COP düşer.

Gerçek COP değeri vanalarda, pompalarda ve motorlarda ısı ve iş kayıpları yüzünden teorik COP değerinden daima daha küçük olur. İsi pompalarının genel prensibi, devridaim sıvısının iki adyabatik ve iki izoterm dönüşümü içeren kapalı bir çevrim olduğundan bu tip çevrimlerden ve termodinamiğin 2. kanunundan burada bahsetmek uygun olur.

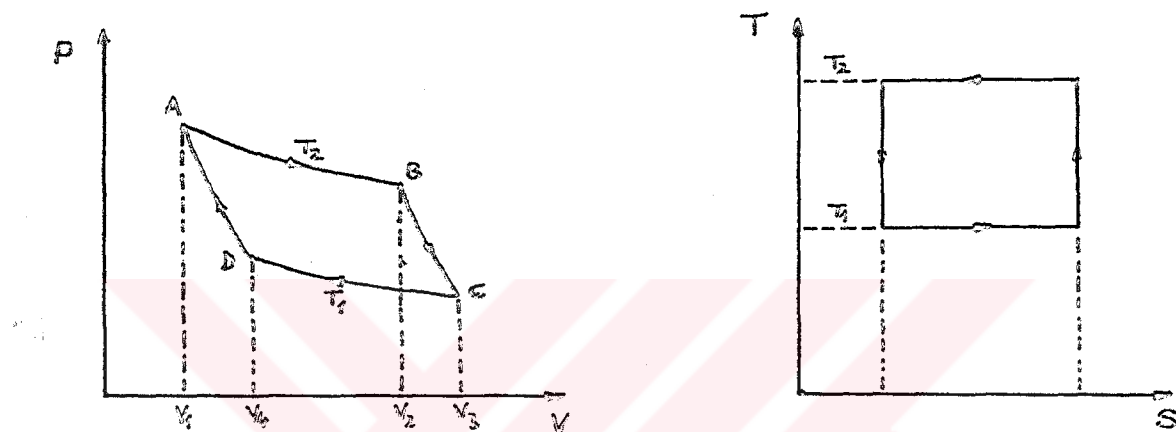
Termodinamiğin 2. Kanunu : Termodinamiğin 1. kanunu ısının işe veya işin ısuya dönüşmesi ve bu dönüşümün belirli oranlarda olduğunu ifade eder. İş her zaman ısuya dönüşebildiği halde ısının işe dönüşmesi her zaman mümkün değildir. ısının işe dönüşmesi için özel şartlar gereklidir. Bu şartların neler olduğunu Termodinamiğin 2. prensibi belirler. Bundan başka bir sistemin dengede olup olmadığını, dengede değilse dönüşümün yönünü önceden belirtmeye yarar.

Kelvin-Planck Tanımı : Tek bir ısı kaynağından ısı almak suretiyle iş elde etmek mümkün değildir. Bu tanım tek bir ısı kaynağından alınan ısıyı esdeğer işe dönüştürerek çevrimini tamamlayan bir makinanın yapılamayacağını ifade eder.

Clausius Tanımı : Dış ortamdan iş vermeksizin soğuk ortamdan sıcak ortama ısı nakletmek mümkün değildir.

1.2.2. Carnot Çevrimi

Sabit sıcaklıktaki bir kaynaktan ısı alıp sabit sıcaklıktaki başka soğuk kaynağa ısı vererek çalışan makinalardan hiçbir reversibil makina dan daha iyibir verime sahib olamaz.



Şekil.1.4.Carnot Çevrimi P-V ve T-S diyagramları

İki ısı kaynağı arasında peryodik olarak çalışan reversibil ısı makinasının verimini hesaplamadan önce Carnot çevrimini inceliyelim. (Şek.1.4) Carnot çevrimi iki izoterm ve iki adyabatik dönüşümden ibarettir ve bu dönüşüm reversibildir. Bu dönüşümün P-V grafiğini inceliyelim.

A noktasında hacmi V_1 , sıcaklığı T_2 olan bir gaz B'ye kadar izoterm olarak genişletilir. Hacmi V_1 den V_2 ye çıkan gazın bu arada almış olduğu ısı Q_2 dir. Daha sonra V_2 hacminden V_3 hacmine adyabatik olarak genişletilir. Gazın sıcaklığı C noktasında T_1 e düşer. Tekrar V_3 hacminden V_4 hacmine izoterm olarak sıkıştırılırsa Q_1 ısısını bırakır. V_4 hacminden V_1 hacmine adyabatik olarak sıkıştırılırsa sıcaklığı tekrar T_2 ye yükselir. Böylece iki izoterm iki adyabatik çevrimden ibaret kapalı bir çevrim elde edilmiş olur.

(A-B) izotermik genişleme esnasında gaz tarafından dışa karşı yapılan iş;

$$W_{AB} = P_1 V_1 \ln \left(\frac{V_2}{V_1} \right)$$

veya ideal gazlar kanununu tatbik edersek,

$$Q_2 = \frac{RT_2}{J} \ln \left(\frac{V_2}{V_1} \right) \text{ yazılır.}$$

(C-D) izotermik sıkıştırma esnasında sisteme verilen ısı ;

$$Q_1 = -\frac{RT_1}{J} \ln \left(\frac{V_4}{V_3} \right) = \frac{RT_1}{J} \ln \left(\frac{V_3}{V_4} \right)$$

0 halde Carnot verimi ; $\eta_C = \frac{Q_2 - Q_1}{Q_2}$

$$\eta_C = \frac{\frac{RT_2}{J} \ln \left(\frac{V_2}{V_1} \right) - \frac{RT_1}{J} \ln \left(\frac{V_3}{V_4} \right)}{\frac{RT_2}{J} \ln \left(\frac{V_2}{V_1} \right)}$$

Halbuki B-C ve D-A adyabatik işlemleri için ; $Q = 0 = E = C_V(T_2 - T_1)$

$$T_2 V_1^{k-1} = T_1 V_4^{k-1}; \quad T_2 V_2^{k-1} = T_1 V_3^{k-1} \text{ olurken } \frac{T_2}{T_1} = \left(\frac{V_3}{V_2} \right)^{\frac{k-1}{k}} = \left(\frac{V_4}{V_1} \right)^{\frac{k-1}{k}}$$

0 halde, $\frac{V_3}{V_2} = \frac{V_4}{V_1}$ veya $\frac{V_3}{V_4} = \frac{V_2}{V_1}$

Verim ifadesinde bu eşitlik yerine konursa ;

$$\eta_C = \frac{T_2 - T_1}{T_2} = 1 - \frac{T_1}{T_2}, \quad W = Q_2 - Q_1 \text{ buradan } \frac{W}{Q_2} = \eta_{\text{termik}}$$

$$\frac{Q_1}{Q_2} = \frac{T_1}{T_2} \quad \text{ise} \quad \frac{Q_2 - Q_1}{Q_2} = \frac{T_2 - T_1}{T_2}$$

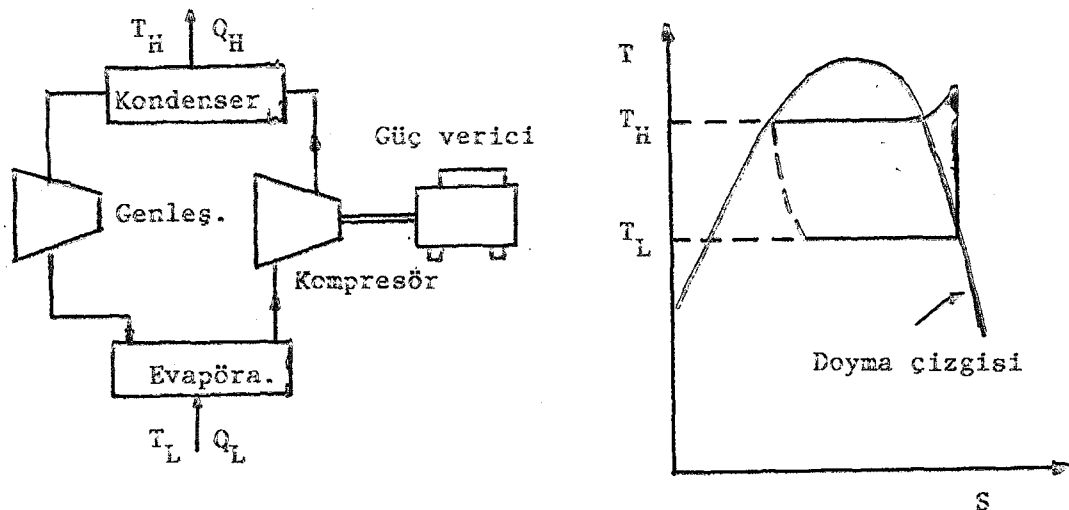
İş makinaları için geçerli olan termik verim ifadesini benzer bir ifade ısı pompaları için elde edilebilir. İşi pompalarında Carnot çevrimi iş makinalarının izlediği yolun tamamen tersini izlediğinden iş pompa-sının performans katsayısı (soğutma verimi) COP değeri aşağıdaki gibi bulunur.

$$COP = \frac{T_2}{T_2 - T_1}$$

1.2.3. Mekanik Buhar Sıkıştırma Çevrimi

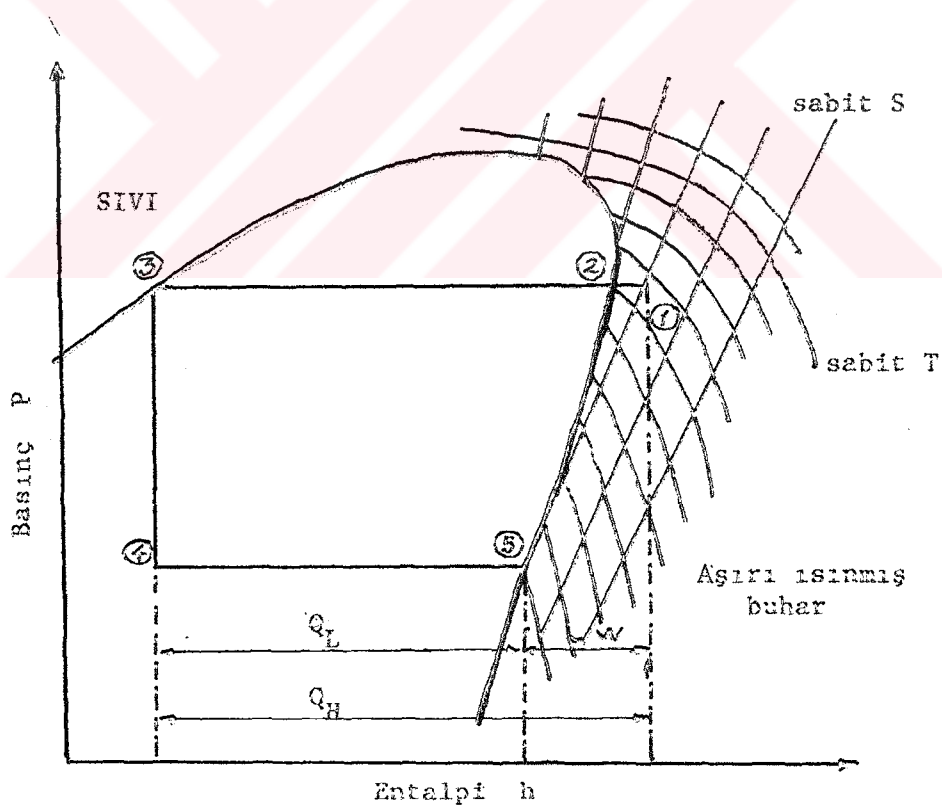
İş pompasında basit bir karnot çevriminin verimine ulaşmak için izotermal şartlarda çalışmak gereklidir. Bu ise uygun sıcaklık ve basınçlarda faz değiştirebilen devridaim sıvısı seçilerek sağlanır. Devridaim sıvısının buharlaştırıcıda buharlaşan kısmı ısı absorbe eder ve absorbe ettiği ısıyı yoğunlaştırıcıda yoğunlaşarak verir. Bu durum Şekil. 1.5 T-S diyagramında görülmektedir. Bunlar çevrimin izotermal basamaklarıdır. Çevrim kuru buharın kullanılmasına uygundur. Mekanik olarak buharın sıkıştırılma çevrimi bir Entalpi-Basınç(P-h) diyagramı şeklinde gösterilebilir. Böyle bir diyagram

Şek.1.6 da görülmektedir. Yüksek basınçlı devridaim sıvısı 1 noktasında komresörü terkeder. Komresörden çıkan gaz aşırı ısınmış durumdadır. 2 noktasında yoğunlaşmadan önce soğuması gereklidir.



Şekil.1.5. Mekanik buhar sıkıştırma çevrimi

Yoğunlaşma 2-3 noktaları arasında gaz kalmayincaya kadar izoterm olarak devam eder. Adyabatik genleşme P-h diyagramında 3-4 noktaları arasında dik çizilerek gösterilebilir.



Şekil.1.6. Basınç-entalpi diyagramında ideal buhar sıkıştırma çevrimi

Çevrimi analiz edebilmek için, çalışma sıvısının giriş ve çıkış durumunu bilmek yeterlidir. Ara durumlar doğru çizgilerle gösterilebilir. 4-5 arasında, sabit basınç ve sıcaklıkta buharlaşma meydana gelir. Devridaim sıvısının, bunar ve sıvısından oluşan iki fazlı karışımında ise genişleşme olur. 5-1 arasında kuru buhar izentropik olarak sıkıştırılır. Pratikte bu duruma ulaşılamaz. Çünkü izentropik olması için sıkışmanın tersinin olması gereklidir. Oysaki burada tersinmez çalışan bir nozul mevcuttur.

Burada incelediğimiz çevrim ideal bir çevrimdir. P-h diyagramının yatay ekseni üzerinde Q_L , Q_H ve W değerlerinin doğrudan görülebilmesi bu diyagramın avantajlarındandır.

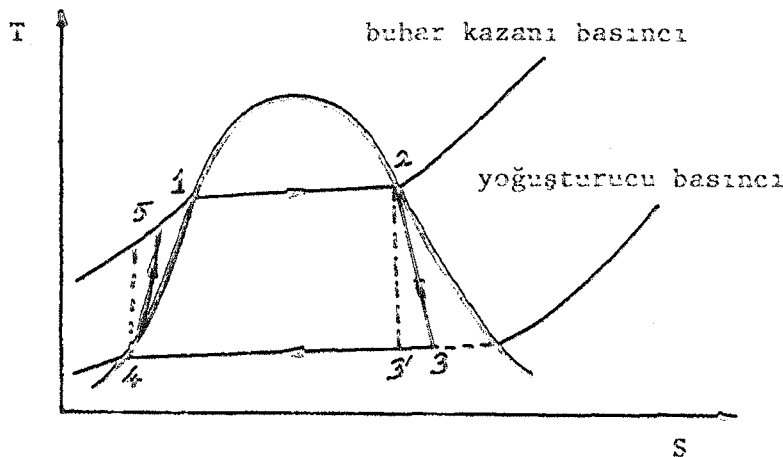
$$Q_H = Q_L + W$$

yazılıbildunginden ısı pompasının COP değeri entalpi ekseni üzerindeki değerler yardımıyla bulunabilir. Yüksek COP değerine ulaşabilmek için Q^* 'ın büyük, W'nın ise küçük olması gereklidir.

Mekanik buhar sıkıştırma çevrimi, ısı pompalaması veya soğutma için aynı olup, genelde ters Rankine çevrimi bazında Rankine çevrimi olarak adlandırılır. Rankin çevrimi elektrik üretimi için kullanılan buhar türbinlerinin çalışmasını analiz ederken kullanılır. Rankine çevrimi ile Mekanik buhar çevrimi arasında iki fark vardır. Birincisi yönleri farklıdır. Rankin çevrimi bir güç çevrimi olup türbin içerisinde genişleyen buharın gücünü alır. İkincisi Rankin çevriminde buhar sıkıştırılıp tamamen sıvı hale geçer.

1.2.4. Rankine Çevrimi

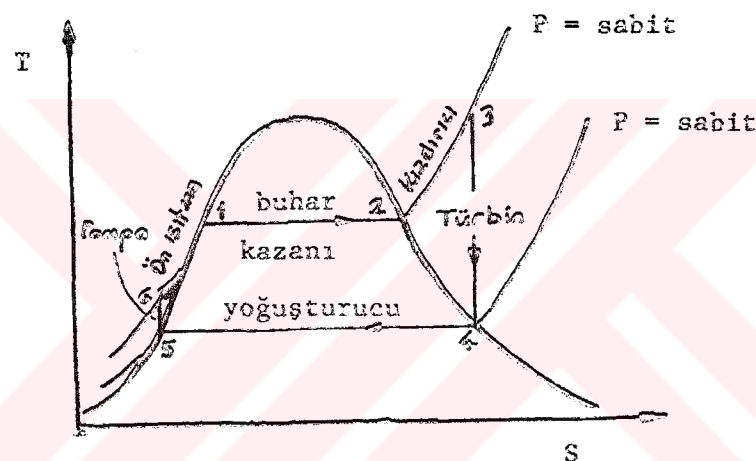
Rankine çevrimini kısaca şöyle özetliyebiliriz. Bir buhar kazanında yüksek basınç ve sıcaklığındaki buhar, bir türbinden geçtikten sonra bir yoğunlukcuya girer. Buradan çıkan sıvı su, bir pompa vasıtasyyla tekrar buhar kazanına gönderilir ve çevrim devam eder. Bu çevrim Şek.1.7 deki T-S diyagramı üzerinde gösterilmiştir.



Şekil.1.7. Basit Rankine çevrimi

Şekilde gösterilen basit Rankine çevrimi ile Carnot çevrimi arasında görülen bariz bir fark, Rankine çevriminde türbinden çıkan buharın tamamen yoğunşturulması, yani 4. noktanın doygun sıvı eğrisi üzerinde olmasıdır. Bunun sebebi, iki fazlı sıvı-buhar akımını iletten kompresörlerin aşırı ölçüde mekanik aşınmaya uğramasıdır. Bu nedenle, buhar tamamen yoğunşturulur ve sıvı bir pompa vasıtısı ile buhar kazanına nakledilir.

Bu durum türbin içinde geçerlidir. Şekil.8 de görüldüğü gibi, kazanın çıkan buhar tamamen iki fazlı olduğu içinde genleşmektedir. Aynen kompresörde olduğu gibi, içinden iki fazlı bir akım geçen türbinlerde aşırı ölçüde mekanik aşınmaya uğrar. Bunu önlemek için, kazanın çıkan buhar ısıtılarak kızgın buhar haline getirilir ve sonra türbinden geçirilir. Buharın kızgınlık derecesi, yani 3 noktasındaki sıcaklık Şekil.8 de gösterildiği gibi, türbinin çıkışının doygun buhar eğrisi üzerine veya yakınına gelecek şekilde ayarlanır.



Şekil.1.8. Buhar kızdırmalı Rankine çevrimi

Buhar kızdırmamasız Rankine çevrimi için toplam verim,

$$\eta_t = \frac{-W_{net}}{q_2} \quad \text{şeklinde ifade edilir.}$$

Şimdi buradaki $-W_{net}$ ve q_2 terimlerinin karşılığını yazalım,

$$q_2 = h_2 - h_5 \quad (\text{suya aktarılan ısı})$$

$$W_t = h_2 - h_3 \quad (\text{türbinden elde edilen iş})$$

$$W_p = -\bar{V} (P_5 - P_4) \quad (\text{pompada yapılan iş})$$

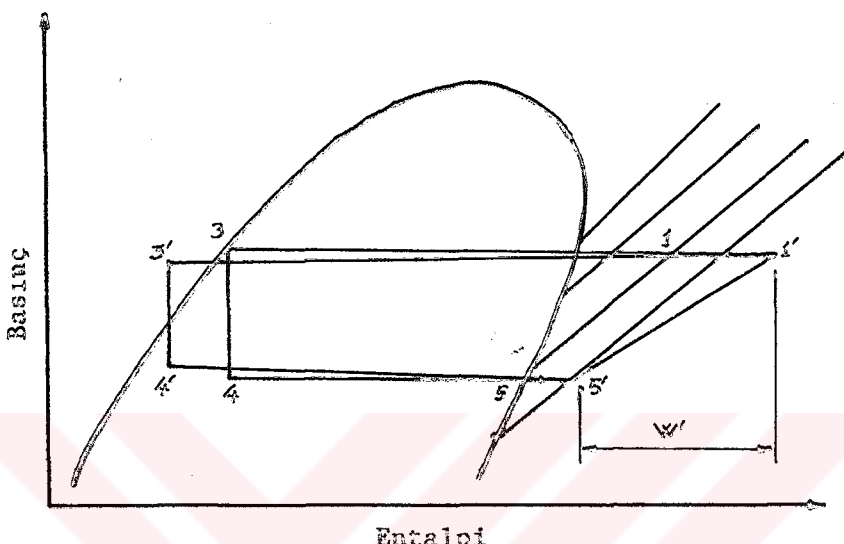
$$W_{net} = (h_2 - h_3) - \bar{V} (P_5 - P_4)$$

$$\text{Buna göre, } \eta_t = \frac{(h_2 - h_3) - \bar{V} (P_5 - P_4)}{(h_2 - h_5)}$$

burada \bar{V} , P_5 ve P_4 basınçları arasındaki ortalama özgül hacimdir.

1.2.5. Pratik Çevrim

Daha önce anlatılan çevrimler ideal çevrimlerdir. Bu çevrimlerde makinelerin %100 verimle çalıştığı kabul edilmiştir. Burada ise gerçek ve ideal çevrim arasındaki farklar incelenecaktır. Kompresör ısı pompası çevrimini etkileyen en önemlisi etkendir. Daha öncedende ifade edildiği gibi kompresörde kuru buhar sıkıştırılmalıdır. Bu nedenle devridaim gazı kompresöre girmeden önce bir miktar ısı alıp ısınmış olmalıdır. Şekil.9'da da görüldüğü gibi devridaim gazının pratikte kompresöre girişi 5' degil 5' noktası olmalıdır.



Şekil.1.9. Pratik buhar sıkışma çevrimi

Aşırı ısıtma ısı pompasında güvenlik sağlar. Buhar ile sıvı taneciklerin kompresöre girmesi sakincalı olduğundan aşırı ısıtma gereklidir. Birçok kompresörün çıkış sıcaklığı sınırlı olduğundan sıcaklığın aşırısından kaçınmak gereklidir. Ayrıca çıkış vanası içinde yüksek sıcaklıklar zararlıdır ve pratik çevrimlerde bir değişikliğe yol açarak devridaim sıvısı ile kompresör arasında ısı transferinin olmasına yol açar. Akıştaki tersinmezlikler nedeniyle kompresörün entalpisi gereğinden fazla artar. Bu ise kompresörün çıkış sıcaklığının artmasına yol açar. Bu durum Şekil.9'da 1' ile gösterilmiştir.

Dönen bir kompresörün izentropik verimi %70 dolayındadır. Ayrıca bir kompresörün verimini aşağıdaki iki yöntemle hesaplamak mümkündür. Bunlardan ilki Mekanik verimidir. Bu şarta uygulanan gücün devridaim sıvısına aktarılan miktarıdır. (Sumner, 1976).

$$\text{Mekanik Verim} = \frac{\text{Kompresöre Verilen Güç}}{\text{Akış Debisi} * \text{Entalpi Artışı}}$$

Mekanik verim %95 olup çalışma çevriminde izentropik verim kadar önemlidir. Gerçek bir sistemin COP'u için iki verim hesaba katılmalıdır.

Diğer bir verim ise Volumetrik verim olup, çevrimin COP'unu etkilemez. Ancak sistemin maliyetini etkiler. Kompresör büyütüğü ile ilgilidir.

$$\text{Volumetrik Verim} = \frac{\text{giren madde miktarı * spesifik hacim}}{\text{birim zamanda kompresörün taradığı alan}}$$

Volumetrik verimde %95 civarındadır.

Kompresörün seçiminden başka çalışma çevriminde çeşitli güçlükler vardır. Devridaim sıvısı ısı değiştiricilerden geçerken basınç kaybına uğrar. Isı değiştiricilerde meydana gelen basınç kaybı ısı değiştiricinin izotermal çalışmasını etkilemez. İdeal çevrimde ısı değiştiriciler izotermal çalışırken, gerçek çevrimde basınç düşüşü bu çalışmayı bozar. Bu durum miktara bağlıdır. Net etki büyütülmüş olabilir. Gerçek etki buharlaştırıcı ve yoğunlaştırcıda olur. İdeal çevrimden sapma aşırı soğuma ile ortaya çıkabilir. Bu durum buharlaştırıcıdan çıkan devridaim sıvısının aşırı ısıtilmasıyla çözümlenebilir. Aşırı soğuma ile aşağı çıkan ısı, buharın aşırı ısıtilmasında kullanılabilir.

1.2.6. COP Değerinin Hesaplanması

Isı pompalarının artık ısların geri kazanılmasında kullanılabileceği dikkate alınarak ideal bir Carnot ısı pompasının verimiyle pratikte elde edilebilen verimlerin karşılaştırılması yapılabilir.

Bu karşılaştırmayı yapmak için çeşitli maddeleri temizlemeye su kullanın bir fabrikayı göz önüne alalım. Temizleme suyu büyük bir tank içerisinde 65°C de ve temizleme işleminden sonra su 35°C de atılıyor. Bir ısı pompa kullanılarak atılan suyun içeriği enerji tekrar tanka transfer edilebilir. Böylece tanktaki suyun sıcaklığı 65°C de tutulabilir. Burada hesaplamada kolaylık sağlamak amacıyla ısı değiştiricilerin kullanımını ihmal edilirse, Carnot'a göre elde edilecek en yüksek COP değeri aşağıdaki formül yardımcıyla hesaplanabilir;

$$\text{Carnot COP} = \frac{T_L}{T_H - T_L} + 1 \quad \begin{aligned} T_H &: \text{tanktaki suyun sıcaklığı, } ^\circ\text{K} \\ T_L &: \text{atılan suyun sıcaklığı, } ^\circ\text{K} \end{aligned}$$

$$\text{COP} = \frac{(273 + 35)}{(273 + 65) - (273 + 35)} + 1 = 11,3$$

İlk iş olarak ısı pompasında kullanılan devridaim sıvısının buharlaşma ve yoğunlaşma sıcaklıklarını tespit edilmelidir. Bu sıcaklıklar kullanıacak ısı değiştiricilerinin boyutları ile ilgilidir. Buharlaşma sıcaklığını 15°C ve yoğunlaşma sıcaklığını 75°C olarak kabul edersek,

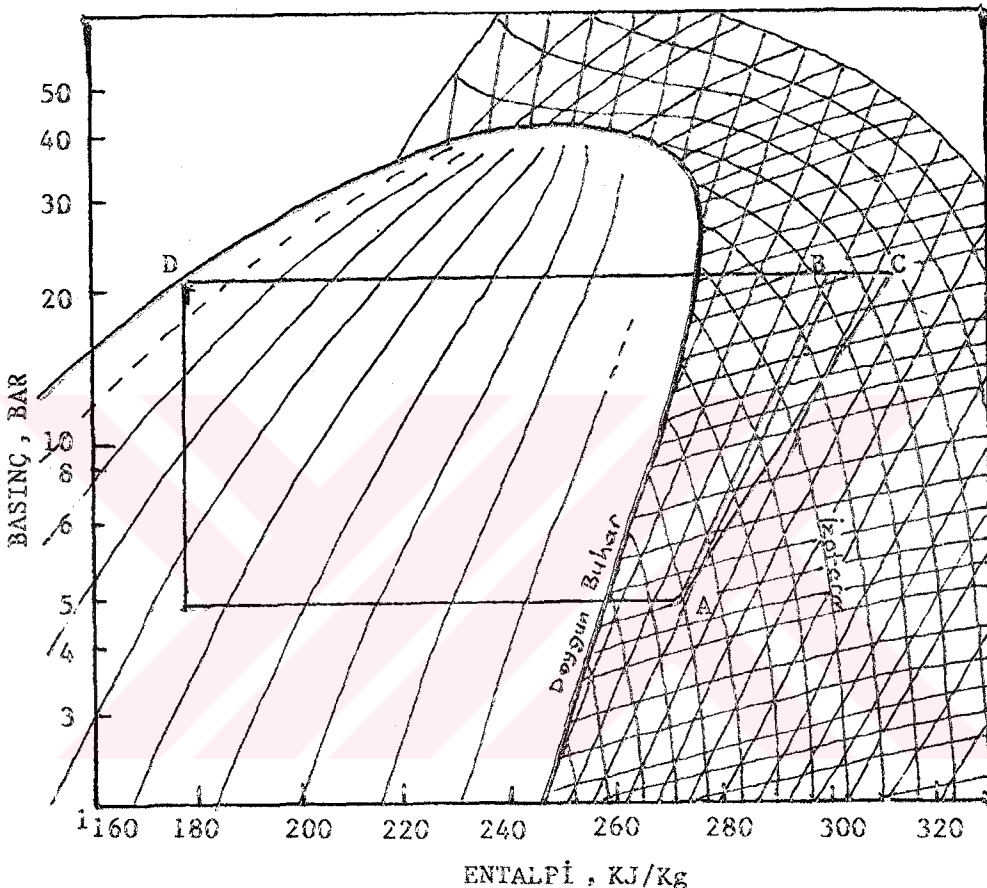
$$\text{COP} = \frac{(273 + 15)}{(273 + 75) - (273 + 15)} + 1 = 5,8$$

Görünen Carnot COP = 11,3

İsı değiştiricileri seçildikten sonra COP = 5,8

Buharlaştırıcıda AT büyük olmalıdır. Artık suyun enerjisi buharlaştırıcıya transfer olduğundan sıcaklığı düşer. Bu düşüş sonucu son sıcaklığın 20°C olduğunu kabul edelim. Ozaman $\Delta T = 35-20 = 15^{\circ}\text{C}$ olur.

Devridaim sıvısı olarak R-12 kullanılsın. Kompresör şartları dikkate alınarak çalışma çevrimi çizilebilir. Örneğimizde kompresöre 20°C de aşırı isınmış R-12 buharı girmektedir.



Sekil.1.10. R-12 kullanan ısı pompası çevrimi örneği

R-12 nin P-h diyagramı üzerindeki çevrimini inceliyelim.

A noktası şöyle bulunur : 15°C kaynama noktasına karşılık gelen basınç 4,9 bar olup doygun buhar çizgisi üzerindedir. Enthalpi ekseniye paralel çizilerek 35°C de izoterm kestirilir. A noktasında entalpi değeri 217 KJ/Kg dir. Sabit entropi çizgisi izlenerek 75°C izoterm eğrisi kestirilerek sıvılaşma basıncı bulunur. Bu da 21 bar dir. Bu nokta izentropik çalışan bir kompresörden çıkan gazın basınç ve entalpi değerini verir. Bu B noktasının entalpisi 300 KJ/Kg, basıncı 21 bar dir.

Gerçek gazın temsil edildiği noktası ise izentropik verimle bulunur,

$$\text{izentropik Verim} = \frac{h_B - h_A}{h_C - h_A} = \frac{300 - 271}{312 - 271} = 0.70$$

%70 lik izentropik verimle çalışan bir pompa için $h_C = 312 \text{ KJ/Kg}$ dır.

Yoğunlaştırıcıdan geçen devridaim sıvısının entalpisi izobar şartlarda yoğunlaşma nedeniyle D noktasına kadar düşer.D noktası yoğunlaştırıcı çıkış basıncındaki doygun sıvının entalpisini verir.Burada ısı değiştirici içindeki basınç düşüşü ihmal edilmiştir.Böylece $h_D = 177 \text{ KJ/Kg}$ dır.

$$\text{Pratik Çevrim COP} = \frac{h_C - h_D}{h_C - h_A} = \frac{312 - 177}{312 - 271} = 3,29$$

Kompresörün mekanik veriminin %95 olduğunu kabul edersek,

$$\text{Pratik COP} = 3,29 * 0,95 = 3,13 \text{ olur.}$$

1.2.7. PER (Primary Energy Ratio =Birincil Enerji Oranı) Değerini Kullanmak

COP,kompresöre verilen işe karşı elde edilen ısı miktarının bir ölçüsüdür.Kompresörü çalıştırmak için çeşitli enerji kaynakları kullanılabilir.Bu enerji kaynağından üretilen enerjinin verimi dikkate alınmaz.İş pompa sistemlerinde hangi enerji kaynağının kullanılmasının daha ekonomik olacağını tespit etmek için PER değerleri hesaplanarak karar verilir.

PER (Primary Energy Ratio) değerini hesaplamak için sadece ısı pompasının COP değeri değil, aynı zamanda birincil enerji kaynağının(örneğin fuel-oil,doğal gaz,kömür yada güneş enerjisi) kompresörün çalışması için gerekli olan işe dönüşüm verimini de dikkate almak gereklidir.

$$\text{PER} = \frac{\text{İş pompasıyla elde edilen faydalı ısı miktarı}}{\text{Tüketilen birincil enerji miktarı}}$$

İş pompasının kompresörünü çalıştırmak için gerekli işin,ısı verimi γ olan bir ısı makinesi kullanılarak üretildiği kabul edilirse PER değeri;

$$\text{PER} = \gamma * \text{COP}$$

sekiinde hesaplanır.

PER,bir primer enerji kaynağının olduğu gibi kullanım ile bu kaynaktan üretilen enerjinin kompresöre uygulanması halinde elde edilen enerjilerin karşılaştırılması için kullanılabilir.Primer enerjinin direkt kullanımını halinde elde edilen enerjiden ısı pompası için kullanıldığından daha fazla enerji üretildiği görülmektedir.Orneğimizdeki ısı pompasına termik verimi $\gamma = 0,4$ olan bir ısı makinesinde üretilen iş kullanılırsa PER = 1,2 olur.

Görüldüğü gibi ısı pompası,yazıtın direkt yakılmasıyla elde edilen ısıdan %24 daha fazla bir ısı verecektir.Eğer ısı pompası,dizel motorundan birincil enerjinin %35 lik kısmını atık ısı olarak kullanıysa(sıcak egzos ve radyatör gazı) PER'in değeri buna uygun olarak artar :

$$\text{PER} = 1,24 + 0,35 = 1,59$$

Bu değer, verimi 0,70 yada 0,80 olan bir buhar kazanlı ısıtma sistemiyle karşılaştırıldığında ısı pompasının birim yakıtta karşı iki kat daha fazla enerji sağladığı görülür.

1.3.1. İSİ POMPALARININ SINİFLANDIRILMASI

İsi pompaları ısı kaynaklarına, işletme ve termodynamik çevrimlerine göre üç kısma ayrılır.

1. İSİ KAYNAKLARINA GÖRE

- a-Hava
- b-Toprak
- c-Yerüstü suları
- d-Yeraltı suları
- e-Güneş enerjisi
- f-Jeotermal enerji
- g-Artık ısı kaynağı

2. İŞLETME ÇEVİRİMLERİNE GÖRE

- a-Hava-hava
- b-Hava-su
- c-Su-su

3. TERMODYNAMİK ÇEVİRİMLERİNE GÖRE

- a-Termoelektrik
- b-Absorbsiyonlu
- c-Buhar sıkıştırmalı

Bunlardan önemli olanlarından bazlarını kısaca açıklıyalım :

1.3.2. İSİ KAYNAKLARINA GÖRE İSİ POMPALARININ ÇEŞİTLERİ

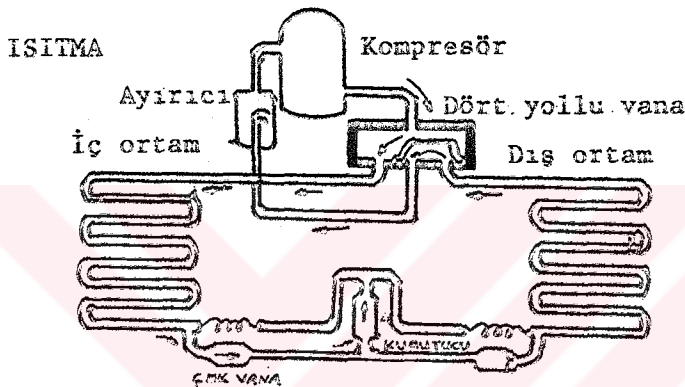
a-Hava

Düşük sıcaklıktaki ısı kaynağı olarak havayı kullanan sistemler, havanın herhangi bir yerde ve zamanda kolaylıkla bulunması nedeniyle oldukça kullanışlıdır. Ancak hava sıcaklığının kışın düşük olması nedeniyle dış ortam serpantinlerinin karlanması söz konusu olmaktadır. Buharlaşma sıcaklığı ile dış ortam havası arasındaki sıcaklık farkının $\Delta T = 5^{\circ}\text{C}$ ve dış ortam hava sıcaklığının $3^{\circ}\text{C} - 4^{\circ}\text{C}$ olması halinde, ısı pompası buharlaştırıcısında herhangi bir karlanma olmaz. Karlanma, dış ortam sıcaklığının 2°C nin altına düşmesi ile oluşur. Bu nedenle $2/-7^{\circ}\text{C}$ sıcaklık aralığı ısı pompaları için en tehlikeli araliktır. Karlanma zamanla buza dönüsür ve dış serpantin kanatçıkları arasının tikanmasına neden olur. Bu durumda saatte 3-4 kez defrost gerekebilir. Sıcaklığın -7°C den aşağı düşmesi durumunda, kuru soğuk kış havasında düşük miktarda nem bulunduğuundan sistem birkaç gün defrost yapmadan çalışabilir. Havayı ısı kaynağı olarak kullanan sistemlerde hava debisi yaklaşık $1200 \text{ m}^3/\text{hr}$ düzeyinde olmalıdır.

Havayı ısı kaynağı olarak kullanan (Şek. 1.11) ısı pompası sisteminin ısıtma amacıyla çalışması :

Soğutucu akışkan evaporatörde (diş ortam serpantinleri) buharlaşırken dış ortamdan buharlaşma isisini alır. Isınan gaz dört yolu vanadan geçerek kompresöre gider. Burada sıkıştırılarak sıcaklığı dahada artar. Kompresörde sıkıştırılarak sıcaklığı dahada artan gaz yoğunlaştırıcıda (iç ortam serpantinleri) yoğunlaşarak isisini iç ortama verir. Sıvı haldeki soğutucu akışkanın basinci genleşme vanası ile düşürülür. Daha sonra evaporatöre gider. Böylece çevrim tekrarlanır.

Soğutma durumunda ise dört yolu vananın akış yolu değiştirilip, sıcak gazın dış serpantinlere gitmesi sağlanır. Böylece aynı sistemde iç ortam gerektiği zaman ısıtılmakta gerekiğindede soğutulmaktadır.



Şekil.1.11. Dört yolu vanalı ısı pompası

b-Yerüstü suları

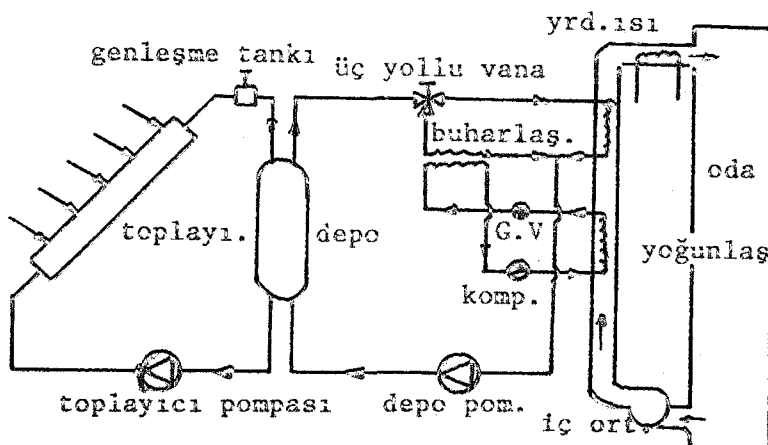
Su, ısı kapasitesinin yüksek olması nedeniyle ısı pompaları için havadan daha çok tercih edilen bir ısı kaynağıdır. Nehir, göl ve deniz ısı kaynağı olarak kullanılabilir. Ancak korozyon, yesun tutma gibi mahsurlar ısı transferini güçlestirmektedir.

c-Güneş enerjisi

Güneş işinlerinin ısı pompası kaynağı olarak kullanılmasının en büyük üstünlüğü, isiyi daha yüksek sıcaklıklarda verebilmesi ve bunu bağlı olarak yüksek COP değerinin elde edilmesidir.

Güneş enerjisi ısı kaynaklı ısı pompaları paralel ve seri olmak üzere iki tipte olabilir. Şek. 1.12 de verilen paralel sisteme ısı pompası havayı ısıtırken, güneş enerjisi ile ısıtılan su da havanın ısıtılmamasına yardımcı olur. Isı pompasının yoğunlaştırıcısı hava kanalına yerleştirilerek, oda havasının ısıtilması sağlanır. Bu arada güneş enerjisi toplayıcısından gelen

sıcak su, termostat kontrolü ile kanala verilir. Böylelikle hava, güneşli günlerde daha düşük enerji gideri ile ısıtılmış olur.



Şekil.1.12. Paralel güneş enerjisi kaynaklı ısı pompası sistemi

1.3.3. İşletme Çevrimlerine Göre Isı Pompalarının Çeşitleri

a-Hava-Hava Isı Pompaları

Bu tip ısı pompalarında yoğunlaştırıcı ve buharlaştırıcıda ısı hava ile taşınır. Eğer ısı pompası iklimlendirme için kullanılacaksa ısıtılan veya soğutulan hava doğrudan ortama gönderilir. Hava-hava ısı pompaları paket tipi ısı pompaları için oldukça uygundur.

b-Hava-Su Isı Pompaları

Bu sistemde işletme çevriminde kullanılan ısı taşıyıcı akışkan olarak hem hava hem su kullanılır. Isı kaynağının hava olması durumuna soğuk hava depoları verilebilir.

c-Su-Su Isı Pompaları

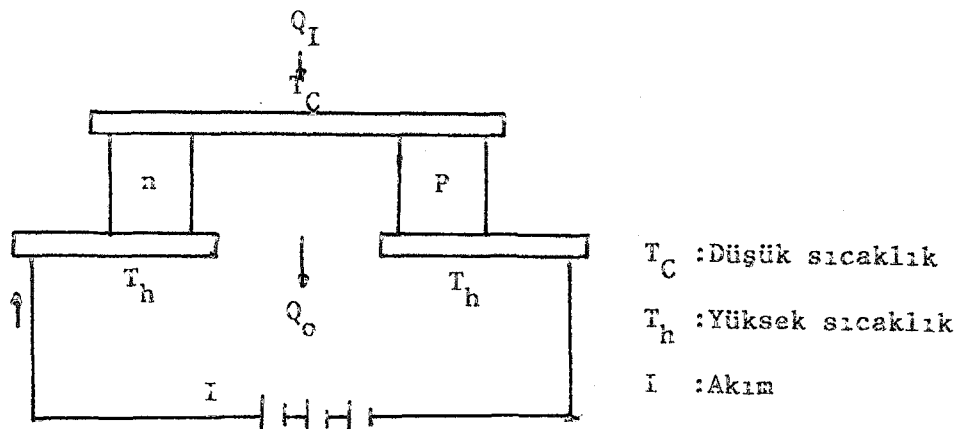
Hem ısı kaynağı hemde ısıyı taşıyan akışkan olarak suyu kullanan sistemlerdir. İlk yatırımları gövde boru tip ısı değiştiricilerinden dolayı yüksektir. Suyun ısı transfer yeteneğinin yüksek olması nedeni ile oldukça kullanışlıdır.

1.3.4. Termodinamik Çevrimlerine Göre Isı Pompalarının Çevrimleri

a-Termoelektrik Isı Pompaları

"Peltier Etkisi" ilkesini kullanarak çalışan ısı pompalarıdır. Termoelemanların (thermo-couple) tam tersi bir sistemle çalışır. (Şek.1.13). Temel ilkesi iki ayrı iletkenin birleşim noktalarının elektrik akımının

yönüne göre sıcak veya soğuk olmasına dayanır. Hareketli parçasının olmaması, aşınma, ses ve bakım problemlerini ortadan kaldırılmıştır. Sıfır yerde-



Şekil.1.13. Termoelektrik ısı pompası

kiminde veya yerçekiminin bir keç katında herhangi bir düzlemede kolaylıkla çalışabilimelerinden dolayı uzay programlarında tercih edilmektedirler.

b-Absorbsiyonlu Isı Pompaları

Absorbsiyonlu sisteme en klasik örnek eskiden kullanılan "elektrolux buzdolapları"dır. Klasik soğutma devresinde kullanılan yoğunlaştırıcı buharlaştırıcı ve genleşme vanası absorbsiyonlu sistemde de vardır. Kompresör yerine ise absorber, çözelti pompası, üreteç ve basınç düşürücü vana bulunmaktadır.

Absorbsiyonlu sistemlerde NH_3 -SU karışımı öteden beri oldukça basarılı olarak kullanılmaktadır. Ev tipi klima cihazlarında, ısı kaynağı sıcaklığının $0^{\circ}C$ den yüksek olması durumunda Lidyumbromjür-Su karışımı sıkça kullanılır.

c-Buhar Sıkıştırmalı Isı Pompaları

Günümüzde oldukça yaygın olarak kullanılan, ana elemanları kompresör, buharlaştırıcı, yoğunlaştırıcı ve genleşme vanası olan sistemdir. Genel ilkesi soğutucu olarak kullanılan akışkanın sıvı fazdan buhar faza geçerken gerekli olan ısıyı düşük sıcaklıktan alıp buhar fazından sıvı faza geçerken vermesi gereken ısıyı yüksek sıcaklıkta atmasıdır. Buna örnek deneysel çalışmalarımızda kullanılan ısı pompası verilebilir. (Şek.2.1.).

1.4. Isı Pompalarında Kullanılan Isı Taşıyıcı Akışkanlar

Isı pompalarında kullanılan ısı taşıyıcı akışkanlar çeşitlilidir. Bunu ların başlıcaları, kükürt dioksit, etil klörür, metil klörür, amonyak, karbondioksit, bütan, izobütan, propan ve freon gurubu gazlardır. Freon gurubu gazlarından en çok kullanılanlar F-11, F-12, F-22 ve F-113 dir. Isı taşıyıcı akışkanlarında aranan özellikler :

- 1- Ucuz olmalıdır.
- 2- Su ve hava ile reaksiyonza girip sisteme zararlı olacak gaz yada asit oluşturmamalıdır.
- 3- Sistemin herhangi bir yerinden sızıntı yapınca kolayca anlaşılabilmelidir.
- 4- Zehirli ve kötü kokulu olmamalıdır.
- 5- Yanıcı ve patlayıcı olmamalıdır.
- 6- Kompresördeki yağlama yağıının özelliklerini değiştirmemelidir.
- 7- Sistemde akarken kimyasal yapısı bozulmamalıdır.
- 8- İmalat malzemelerine karşı korozyif olmamalıdır.
- 9- Sıkıştırma oranı düşük olmalıdır.
- 10- Özgül hacmi küçük olmalıdır.
- 11- Buharlaşma gizli ısısı yüksek olmalıdır.
- 12- Kritik sıcaklık ve basıncı yüksek olmalıdır.
- 13- Atmosfer basıncında düşük sıcaklıklarda buharlaşabilmelidir.
- 14- Yoğunlaşma basıncı ve buna bağlı olarak sıcaklığı yüksek olmalıdır.

Yukarıda sıralanmış olan özellikler, soğutucu akişkan olarak kullanabilecek maddeleri kısıtlamaktadır. Bu amaç için kullanılabilen bazı maddeler çeşitli özellikleriyle Tablo.1.1. de verilmiştir.

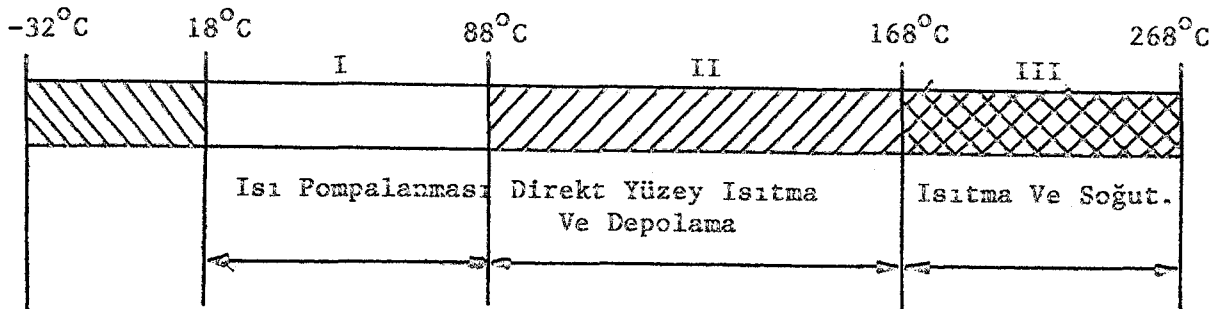
Tablo 1.1. Isı Pompalarında Soğutucu Akışkan Kullanılabilen Bazı Kimyasal Maddelerin Teknik Özellikleri

No	İsim	Evp. Bas. bar	Kon. Bas. bar	Sıktır.	Soğ. Etk. gr/sn	Özs. hac. m ³ /kg	Emme hac. m ³ /kg	Komp. Süp. Saft gücü COP	Bos. Si. T _c °C	Komp. Süp. Saft gücü COP	Bos. Si. T _c °C
		KJ/Kg	KJ/Kg	orantı	gr/sn	m ³ /kg	m ³ /kg	gr	kW	gr	kW
170	Etan	16,3	46,6	2,86	136	25,8	0,033	0,86	1,46	2,41	50
1381	Bromotriflorometan	5,38	18,0	3,36	68	51,9	0,024	1,24	0,77	4,25	51
1270	Propilen	3,56	12,5	3,51	402	8,3	0,163	1,43	0,78	4,51	42
290	Propan	2,89	10,7	3,70	281	12,5	0,155	1,93	0,77	4,58	36
502	22/115 Azeotrop	3,49	13,1	3,75	106	33,1	0,051	1,70	0,80	4,37	37
22	Klorodiflorometan	2,95	11,9	4,03	163	21,6	0,077	1,68	0,75	4,66	53
115	Kloropentafloroetan	2,66	10,4	3,89	68	52,0	0,048	2,50	0,87	4,02	30
717	Amonyak	2,36	11,7	4,94	1103	3,2	0,509	1,62	0,74	4,76	99
500	12/152 a Azeotrop	2,14	8,79	4,12	141	24,9	0,094	2,34	0,75	4,65	41
12	Diklorodiflorometan	1,82	7,44	4,08	116	30,2	0,091	2,75	0,75	4,70	38
40	Metil Klorür	1,46	6,53	4,48	349	10,0	0,28	2,81	0,72	4,90	78
764	Kükürt dioksid	0,81	4,58	5,63	329	10,7	0,40	4,29	0,72	4,87	88
600	Bütan	0,57	2,85	5,07	299	11,8	0,62	7,32	0,71	4,95	31
114	Diklorotetrafloroetan	0,47	2,53	5,42	100	35,1	0,27	9,50	0,78	4,49	30
21	Dikloroflorometan	0,36	2,15	5,96	208	16,9	0,57	9,64	0,70	5,01	61
160	Etilklorür	0,32	1,86	5,83	331	11,0	1,07	11,7	0,68	5,21	41
631	Etilamin	0,23	1,70	7,40	525	6,7	2,02	18,3	0,64	5,52	-
11	Trikloroflorometan	0,21	1,25	6,19	155	22,6	0,76	17,2	0,70	5,03	44
610	Etil Eter	0,10	0,85	8,20	294	11,9	2,18	26,1	0,61	5,74	-
30	Metilen klorür	0,081	0,69	8,60	313	11,3	3,12	35,1	0,72	4,90	96
113	Triklorotrifloroetan	0,071	0,54	8,02	125	28,2	1,71	48,2	0,73	4,84	30
1130	Dikloroetilen	0,058	0,48	8,42	266	13,2	3,97	52,5	0,73	4,83	-
1120	Trikloroetilen	0,014	0,13	11,65	213	16,5	14,32	237	0,73	3,82	-

1.5.1. Isı Pompalarının Ekonomisi

Isı pompaları ekonomik olarak ilgi çekici durumdadır. Isı kaynakları oldukça fazladır. Ancak, önemli olan bu ısı kaynaklarından en ekonomik olanı seçmektir. Bu konuda detaylı bilgi ASHRAE seminerinde sunulmuştur.

Ekonomin bir prosesin seçiminden önce, çeşitli ısı kaynaklarının hangi sıcaklıklarda olduğu ve en ekonomik olarak ısının hangi sıcaklıklarda pompalanabileceği tespit edilmelidir. Çizelge.1'de bu durum özetlenmiştir.



.Çizelge.1. Kullanılabilir sıcaklıklar

Bu çizelgede, kullanılabilecek çeşitli sıcaklık aralıkları gösterilmiştir. Kullanılabilir sıcaklık aralığı en yüksek sıcaklık aralığıdır. Düşük sıcaklıkta ısı pompalanarak ısıtma ve soğutmada yararlanılır. Çizelgede görüldüğü gibi optimum sıcaklıklar 168°C - 268°C arasındaki sıcaklıklardır. Bu sıcaklıklar ısı pompalanmasına gerek duymazlar ve ekonomiktirler. 18°C - 88°C aralığındaki sıcaklıklar ısı pompası ile pompalanarak ısıtma amacı ile kullanılabilen sıcaklığa yükseltilebilirler. (Boggarm, 1979)

88°C üzerindeki II ve III bantları ise ısıtma ve soğutmada direkt olarak kullanılabilirler. Isı pompalarında kullanılabilen pek çok ısı kaynağı vardır. Bunların seçimi yapılmadan önce enerji ve maliyet hesapları iyice araştırılarak en ekonomik olanı seçilir. Isı pompalarındaki ısı kaynağı analizi çok önemlidir ve aşağıdaki kriterlere göre yapılır :

- 1-Ek yatırım maliyeti
- 2-İşletme maliyeti
- 3-Kullanılacak ısı kaynağının kararlılığı
- 4-Gerekli ısı ile kaynaktan sağlanan ısı arasındaki blanço
- 5-Sistemin binalara uygulanabilirliği ve kullanılacak malzemenin sisteme uygunluğu
- 6-Isı pompasının yıllık maliyeti ile diğer ısıtma sistemlerinin maliyetlerinin karşılaştırılması

1.5.2 Maliyet Hesabı

İş pompalanması için kaynak seçimi, yatırım ve işletme masrafları ile ilgili detaylı maliyet hesaplarını gerektirir. İş pompalanması için çeşitli mekanik kaynaklar birleştirilip kombine bir sistem elde edilir.

Ek yatırım maliyetleri ve işletme maliyetleri aşağıdaki maddeleri içtiiva etmektedir :

a-Kontrol aletlerinin işletme maliyetleri ve ısı pompalama sisteminin çalışmasını sağlayacak diğer cihazların maliyetleri.

b-Vantilatör, pompa gibi aletlerin çalışma maliyetleri.

c-İş pompalanmasının yıllık maliyeti ile ilgili olan enerji, bakım ve diğer harcamalar

Yıllık maliyet şu formülle hesaplanabilir : (Boggarm, 1979)

$$AC = C_I + EC_E + C_M + C_L \quad (1)$$

burada, AC : İşi pompalanmasının yıllık maliyeti

C_I : Sistemin yatırım maliyeti

I : Yatırımların gelir ve amortismanı

E : İş pompalanması için yıllık enerji sarfiyatı

C_E : Birim güç maliyeti

C_M : Yıllık bakım maliyeti

C_L : Birim işçi maliyeti

İş kaynağına ve kullanılan mekanik sistemlerin özelliğine bağlı olarak enerjinin birkismi sisteme harcanır. Sistem her kaynağın enerjisini minimum kullanacak şekilde tasarımlanır.

İş pompasının kullanacağı enerji matematiksel olarak şöyle ifade edilebilir : (Boggarm, 1979)

$$Q_H = \sum Q_{AE} * HRF \quad (2)$$

burada, Q_H : Yıllık pompalanan ısı enerjisi

Q_{AE} : İş pompalanması için kullanılabilen düşük düzeydeki enerji

HRF : İşi geri kazanma faktörü

(1) ve (2) eşitliğinden iş pompalanmasının milyon KJ deki enerji maliyeti aşağıdaki formülle bulunabilir : (Boggarm, 1979)

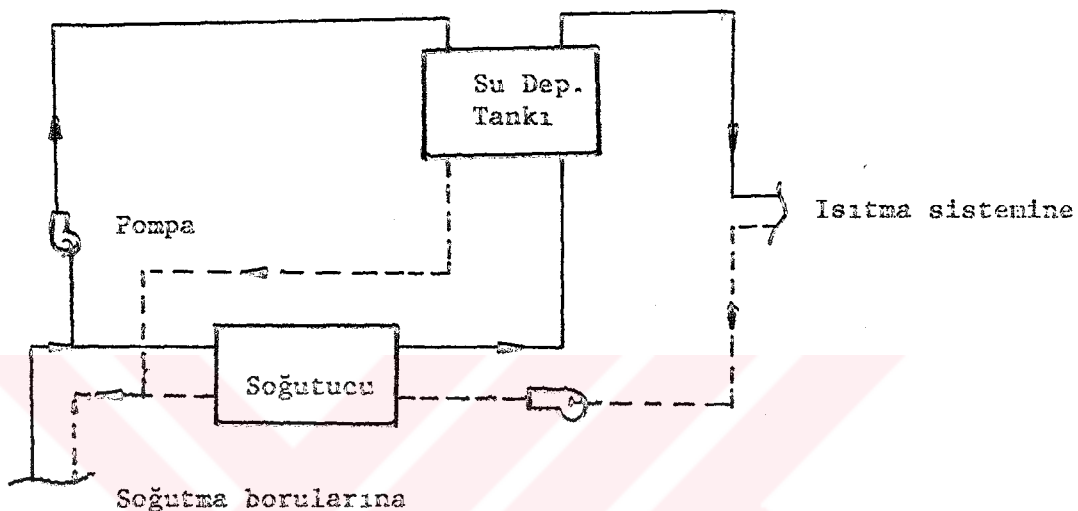
$$\text{Maliyet/Milyon KJ} = \frac{AC * 10^6}{Q_H} \quad (3)$$

1.5.3. Ekonomi hesabı

İş pompalanması sırasında kullanılacak kaynak ekonomik olmalıdır.

İ-İç İşi

Bu işi yıl boyunca endüstriyel ve ticari amaçlı çalışmalarda kullanılır. Güneş ışınlarından elde edilebilen az mikardaki işi insanlar tarafından ısıtma işleminde direkt olarak kullanılamaz. Bu düşük enerji işi pompaları sayesinde daha kullanışlı sıcaklıklara yükseltilebilir. İç işinin şematik olarak görünüsü Şekil.1.14 de verilmiştir.



Şekil.1.14. İç işi

İş pompasının geliştirilmiş türleri klasik sistemlerden daha ucuza mal edilebilir. Yüksek yoğunlaştırma sıcaklığındaki bir soğutucu ve izolasyonu iyi yapılmış bir depolama tankında depolanan enerji sayesinde ısıtma gerçekleştirilebilir. Soğutucu-yoğunlaştırıcı çalışmalarının sırası gereklilikte denetimli olarak değiştirilerek, işi pompalanması istenilen yöne çevrilebilir. İşi pompalanması sırasında yoğunlaştırıcı tank sıcaklığı 28°C ye ulaşınca kadar kullanılabilir. Sisteme bağlı işi deposu pompaalanacak isiyi depolama kapasitesinde olmalıdır.

Tesisatın iç ısısı matematiksel olarak şöyle ifade edilebilir :

$$Q_{TH} = Q_V + Q_P + Q_{INT} - \text{ANI DEĞERLER} \quad (4)$$

Yillik,

$$\sum Q_{TH} = \sum (Q_V + Q_P + Q_{INT}) \quad (5)$$

İş pompasında kullanılacak yıllık düşük kaliteli ısı miktarı ;

$$Q_{N \text{ INT}} = \sum Q_{INT} - HRT \quad (6)$$

(1) ve (2) eşitliğinden enerji maliyeti,

$$\text{Maliyet/Milyon KJ} = \frac{(AC)_{INT} * 10^6}{\sum (Q_H)_{INT}} \quad (7)$$

burada, Q_{TH} : Tesisat içindeki toplam ısı

Q_V : Toplam havalandırma ısısı

Q_P : Tesisattaki toplam çevre ısısı

Q_{INT} : Tesisatın toplam iç ısısı

$(AC)_{INT}$: Klasik sistemi değiştirmek için yapılan yıllık ek masraf

Q_H INT : Yıllık pompalanan enerji

2-Güneş Enerjisi ile Isıtma

Güneş enerjisi tüm sıcaklık düzeylerinde bütün yıl boyunca kullanılabilir. İşi pompalarında güneş enerjisinin kaynak olarak seçilmesi bu enerjinin toplanacağı güneş kollektörlerine bağlıdır. Bunların sıcaklıkları 38°C - 98°C olduğundan bu kaynakla çalışan ısı pompaları ucuza mal edilir ve verimi fazladır.

Güneş enerjisinden yararlanılması için gerekli sistemin yatırım ve gelişim masrafları fazladır. Bunlar güneş kollektörleri başta olmak üzere depo tankı, pompalar, bağlayıcı borular ve tanklardaki ısı değiştirici masraflarıdır. Bu enerjinin kullanımını etkileyen pek çok değişken vardır. Bunlar yapı malzemeleri, sistemin izolasyonu, toplayıcı ve depolardaki ısı kayıplarıdır. Güneş kollektörleriyle yıllık en fazla 36°C - 98°C arasında ısı toplanabilir. Toplam yıllık güneş enerjisi ;

$$Q_C - Q_L = \sum (Q_{AE})_{solar} \quad (8)$$

burada, Q_C : Güneş kollektörleri tarafından birim zamanda toplanan enerji

Q_L : Dağıtma sisteminde ortaya çıkan toplam ısı kayıpları

Q_{AE} : İsi pompalanması için mümkün olan yıllık güneş enerjisi

Güneş enerjisi ile çalışan ısı pompalarında elde edilebilecek toplam enerji aşağıdaki şekilde hesaplanabilir :

$$(Q_H)_{\text{solar}} = \sum Q_{(AE)}_{\text{solar}} * \text{HRF} \quad (9)$$

burada, $(Q_H)_{\text{solar}}$: Yıllık pompalanan ısı enerjisi

$\sum Q_{(AE)}_s$: Isı pompalanması için kullanılabilecek düşük düzeydeki enerji

HRF : Isı geri kazanma faktörü

(1) ve (2) eşitliğinden enerji maliyeti :

$$\text{Maliyet/Milyon KJ} = \frac{(AC)_s * 10^6}{(Q_H)_s} \quad (10)$$

$(AC)_s$: Güneş enerjisiyle ısı pompalamanın yıllık maliyeti

3-Artık Isı

Fabrika ve ticari işletmelerde yapılan işe, mevsime ve yararlanılan kaynaklara göre artık ısı üretilir. Artık ısı egzos gazlarında, baca gazlarında, atılan sıcak sularda v.b vardır. Kazan artıklarının sıcaklığı yüksektir ve ısı pompalarına gerek duyulmadan kullanılabılırler. Bazı durumlarda ise artıklar doğrudan kullanılabilecek sıcaklıkta olmayabilirler. Örneğin, pis suların sıcaklığı 8°C - 88°C dir ve ısı pompası için kullanılmazlar. Bu kaynağın kullanılabilmesi için ısı pompasına bağlı depolama tankının pis su ayırmaya sistemi ve ısı değiştirici kısmı olmalıdır. Teknik yönünden mümkün olan bu sistem pek ekonomik değildir. Havalandırmadan (vantilatörle) da artık ısı elde edilebilir.

Isı pompasında kullanılabilen ekzos artıkısını şöyle ifade edilebilir :

$$\sum Q_{HE} = \sum Q_{EV} * \text{HRF} \quad (11)$$

burada, Q_{EV} : Isı pompasında kullanılabilecek ekzos gazının ısısı

(1) ve (2) eşitliğinden ısı pompalanmasının milyon KJ deki enerji maliyeti aşağıdaki şekilde bulunabilir :

$$\text{Maliyet/Milyon KJ} = \frac{AC_E * 10^6}{\sum (Q_H)_E} \quad (12)$$

BÖLÜM 2

DENEYSEL KISIM

2.1. Kullanılan Maddeler

Kalsiyum Klorür Dihidrat ($\text{CaCl}_2 \cdot 2\text{H}_2\text{O}$) :

Merk ürünü olup %99 saflikta idi. Merk ürünü olduğundan iki mol su içерip içermediği ayrıca kontrol edilmedi. Gerekli miktarda suda çözüp kristallendirilerek kalsiyum klorür hekzahidrat haline getirilip kullanıldı.

Sodyum Karbonat (Na_2CO_3) :

Merk ürünü olan bu madde susuz olup %99 saflikta idi. Gerekli miktarda suda çözüp kristallendirilerek sodyum karbonat deka hidrat haline getirilip kullanıldı.

Sodyum Sülfat (Na_2SO_4) :

Merk ürünü olan bu madde susuz olup saflığı %99 idi. Yeterli miktarda suda çözüp kristallendirilerek sodyum sülfat dekahidrat haline getirilip kullanıldı.

Disodyum Fosfat Heptahidrat ($\text{Na}_2\text{HPO}_4 \cdot 7\text{H}_2\text{O}$) :

Merk ürünü olup saflığı %98.8 idi. Uygun miktarda suda çözüp kristallendirilerek disodyum fosfat dodekahidrat haline getirilip kullanıldı.

Borax (sodyum tetraborat dekahidrat) :

Merk ürünü olup %98 saflikta idi. Alındığı gibi kullanıldı.

Stronsiyum Klorür Hekzahidrat ($\text{SrCl}_2 \cdot 6\text{H}_2\text{O}$) :

Merk ürünü olup %99.9 saflikta idi. Alındığı gibi kullanıldı.

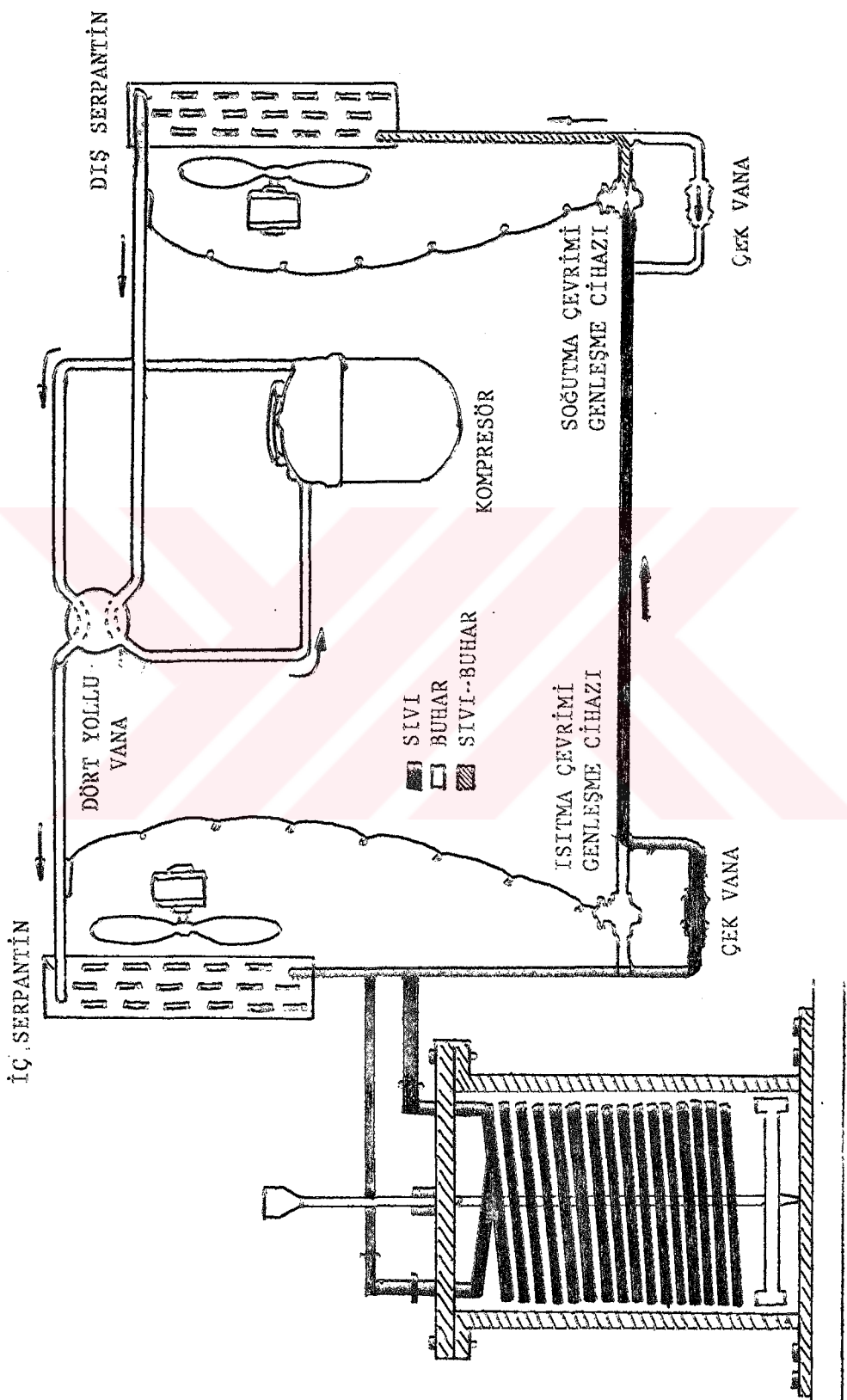
Mağnezyum Klorür Dihidrat ($\text{MgCl}_2 \cdot 2\text{H}_2\text{O}$) :

Merk ürünü idi. Saflığı %99.8 olup alındığı gibi kullanıldı.

2.2. Kullanılan Aletler

İsi Pompası :

Özel bir firmaya sipariş verilerek yaptırılan cihazın boyutları 0.95 m * 0.80 m * 1.25 m dir. Cihaz şematik olarak Şekil.2.1 de görülmektedir. 2 HP gücünde olup hem ısıtma hem soğutma yapabilmektedir.



Şekil.2.1. Isı pompa monte edilen deponun şematik olarak görünüsü

Diğer teknik özellikler :

Elektrik	: 220 volt
Evaporasyon	: 0°C
Kondenzasyon	: 55°C
Vantilatör	: 1100 m ³ hava/hr
Çalışma standart alt sınırı	: 10°C
Çalışma standart üst sınırı	: 45°C
Sıcaklık farkı	: 10°C

Depolama Kabi :

Hacmi 6 l olup ısı pompasına bağlanmıştır. İçinden ısı pompasının devridaim sıvısı helezon şeklindeki bakır boru yardımıyla dolaştırılmaktadır. Cihaz yeterli miktarda yalıtım maddesi ile yalıtılmıştır. Ayrıca birde karıştırıcısı vardır.

Termoelemanlar :

Sıcaklık Ölçümünde Bakır-Konstantan çifti kullanılmıştır.

Haake F3 Marka Sabit Sıcaklık Banyosu :

Termoelemanların kalibrasyonunda sabit sıcaklık kaynağı olarak kullanılmıştır. Sıcaklığını ayarlamak için termostatı vardır.

Haake F2 marka Sirkülasyonlu Sabit Sıcaklık Banyosu :

Sirkülasyonu sağlamak için bir sirkülasyon pompaşı vardır. Tuz hidratlarının ısı depolama kapasitelerini belirleme deneyinde reaktöre sabit sıcaklıkta sürekli su sağlamak için kullanılmıştır (Şekil.2.2).

Karıştırıcı motoru :

Devir sayısı ayarlanabilmekte olup elektrik enerjisiyle çalışmaktadır.

Thurlby 1905 a Marka Digital Multimetre :

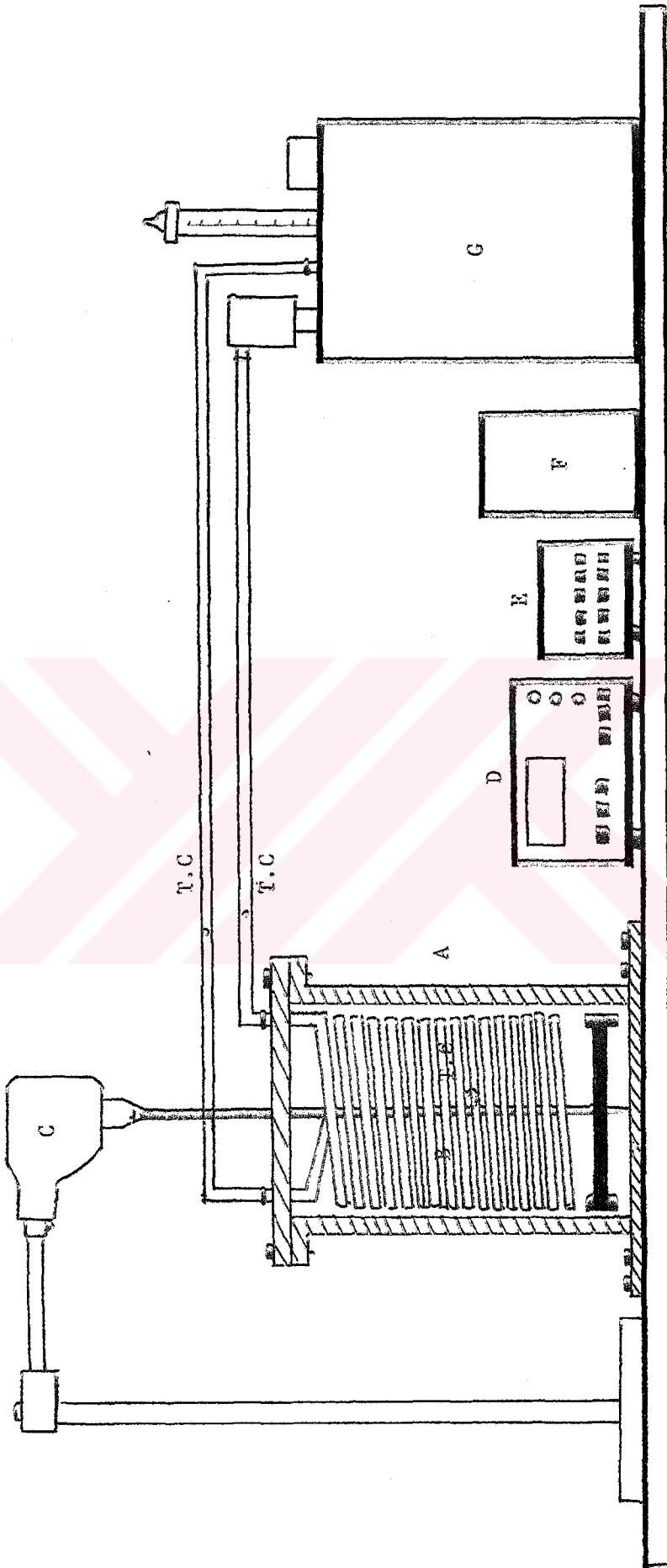
Deneylerde termoelemanlar yardımıyla sıcaklıklarını ölçmek için kullanıldı. Bu cihazla aynı anda pek çok noktadan (onsekiz nokta) ölçümler yapılabilmektedir.

Reaktör :

Tuz hidratlarının ısı depolama kapasiteleri bu cihazda tayin edildi. Hacmi 1.2 l olup içinde ısı değiştirici olarak spral şeklinde bakır boru bulunmaktadır. Ayrıca bir karıştırıcıya sahiptir. (Şekil.2.2)

İzolasyon Maddesi :

Cam yünü olup sistemi yalıtmak için kullanılmıştır.



Sekil.2.2. Tuz hidratlarının ısı depolama kapasitelerinin tayin edildiği deney düzenegi; G : Sirkül.sbt.sıcak.banyosu
A : Reaktör; B : Isı değiştirici; C : Değiştirici; D : digital multimetre; E : Okuyucu tuşları; F : Buz banyosu

2.3. Deneylerin Yapılışı

2.3.1. Kalsiyum Klorür Hekzahidrat Oluşumunun Sağlanması

Kalsiyum klorür'ün ısı depolama amacıyla kullanılan ve düşük erime noktasına sahip iki hidrat şekli vardır. Bunlardan biri kalsiyum klorür tetrahidrat ($\text{CaCl}_2 \cdot 4\text{H}_2\text{O}$), diğer ise kalsiyum klorür hekzahidrattır ($\text{CaCl}_2 \cdot 6\text{H}_2\text{O}$). Bunlardan hekzahidratın ısı depolama kapasitesi tetrahidrata göre daha fazladır. Dölayısıyle kalsiyum klorürden hidrat şekli hazırlanırken tetrahidrat oluşumu yerine hekzahidrat oluşumu tercih edilir. Bunu sağlamak için tetrahidratın çözünürlüğünü artırıp, hekzahidratın çözünürlüğünü azaltmak gereklilikte hekzahidratın oluşumu sağlanabilsin. Bunun için uygun bir çekirdekkestirici seçilmesi gereklidir. Literatürde kalsiyum gurubu elementlerinin klorür yada hidroksidlerinin bu amaç için kullanılabileceği belirtilebilir (Telkes, 1952) ancak bir çekirdekkestirme vasıtası verilmemiştir. Bu naktadan hareket ederek kalsiyum, mağnezyum ve stronsiyum'un klorür ve hidroksitleriyle bir çalışma yapıldı. Bunun için kalsiyum hidroksit, mağnezyum hidroksit, mağnezyum klorür ve stronsiyum klorür hekzahidrat ile çeşitli oranlarda denemeler yapılmıştır. Belirli miktarlarda (örneğin %3, %5 v.b) tartılan bu maddeler çekirdekkestirici olarak kullanılarak pek çok kalsiyum klorür hekzahidrat hazırlanmıştır. Yapılan denemeler sonunda çekirdekkestirici olarak, hazırlanan kalsiyum klorür hekzahidratın ağırlığının %2-3 kadar $\text{SrCl}_2 \cdot 6\text{H}_2\text{O}$ kullanımının hekzahidrat oluşumunu diğerlerine göre daha iyi sağladığı gözlenmiştir.

2.3.2. Tuz Hidratlarının Hazırlanması

Deneysel çalışmalarında düşük erime noktasına sahip dört adet tuz hidratı kullanıldı. Bunlar kalsiyum klorür hekzahidrat, sodyum karbonat dekahidrat, sodyum sülfat dekahidrat ve disodiyum fosfat dodekahidratıdır.

Kalsiyum klorür, dihidrat şeklinde merkez ürünü idi. Bunu gerekli miktarında (1 mol $\text{CaCl}_2 \cdot 2\text{H}_2\text{O}$ ya 4 mol H_2O) suda çözüp içine çekirdekkestirici olarak önceki deneye tespit edilen $\text{SrCl}_2 \cdot 6\text{H}_2\text{O}$ dan ağırlıkça %2-3 oranında ilave ediliip kristallenmeye bırakıldı. Daha sonra, oluşan kalsiyum klorür hekzahidrat deneysel çalışmada kullanıldı. Burada oluşan kristalin gerçekten kalsiyum klorür hekzahidrat olduğunu anlamak için bir deneme yapılmıştır. Bunun için 0.1 mol $\text{CaCl}_2 \cdot 6\text{H}_2\text{O}$ alınıp önceden sıcaklığı ayarlanan (500°C) etüve konmuştur (1.5-2 saat). Amaç tamamen kristal suyunu uçurmaktır. Etüvden çıkarılan madde tartıldı ve susuz miktarın ne kadar olduğu tespit edildi. Böylece iki tartım arasındaki farktan uzaklaşan kristal suyu miktarı hesaplanmıştır. Bu deney hazırlanan diğer tuz hidratlarında uygulanarak gerçekten istenen mikarda hidrat içerip içermediğini tespit edilmiştir.

Merk ürün olan susuz sodyum sülfat alınıp gerekli miktarda (1 mol Na_2SO_4 için 10 mol H_2O) suda çözündü. İçine kristallendirici olarak literatürde Telkes (1974) tarafından önerilen Borax'tan ağırlıkça %3-4 oranında katip kristallenmeye bırakıldı. Daha sonra oluşan sodyum sülfat dekahidrat deneysel çalışmada kullanıldı.

Sodyum karbonatın susuz şekildeki bir molunu yeterli miktarda (on mol) suda çözerek kristallenmeye bırakıldı. Oluşan sodyum karbonat dekahidrat % 37 Na_2CO_3 ve % 67 H_2O içermektedir. Madde deneylerde bu şekilde kullanıldı.

Disodyum fosfat heptahidrat yeterli miktarda (1 mol $\text{Na}_2\text{HPO}_4 \cdot 7\text{H}_2\text{O}$ için 5 mol H_2O) suda çözünerek kristallenmeye bırakıldı. Oluşan disodyum fosfat dodekahidrat deneysel çalışmada kullanıldı.

2.3.3. Termoelemanların Kalibrasyonu

Termoelemanlar kullanılmadan önce kalibre edilmeleri gereklidir. Yani ölçüduğu akımın (bu mV, amper v.b olabilir) hangi sıcaklığa karşı geldiği bilinmelidir. Bunun için termoelemanın bir ucu sabit sıcaklık banyosuna, diğer ucu ise dijital multimetre'ye bağlandı. Ayrıca referans sıcaklık kaynağı olarak erime noktasındaki buz alınarak sisteme bağlandı. Böylece kapalı bir devre oluşmuş oldu. Sabit sıcaklık banyosunun termostat ayarı önce 20°C ye getirildi ve dijital multimetreden bu sıcaklıkta devreden geçen akım mV olarak okundu. Bu şekilde 10'ar derece aralıklarla sıcaklık artırılıp bunlara karşılık gelen değerler okuyucudan mV olarak okundu. Sonuçlar, sıcaklığına karşı mV olarak okunan değerler grafiğe geçirildiğinde doğru elde edildi. Doğrunun denklemi $y = ax + b$ olup en küçük kareler metodu kullanılarak $a=23.171$ ve $b=2.5894$ olarak bilgisayarla hesaplandı. Böylece denklemdeki değişken olan x 'in değeri dijital multimetreden okunup yerine konulduğunda bu değere karşılık gelen sıcaklık bulunmuş olur.

2.3.4. Sirkülyasyonlu Sabit Sıcaklık Banyosundaki Sirküle Olan Suyun Debisinin Belirlenmesi

Tuz hidratlarının ısı depolama kapasitelerini tayin ederken birim zamanda sisteme su ile ne kadar ısı verildiği bilinmelidir. Sirkülyasyon pompasının pompalama debisi, sistemdeki su seviyesi ve sıcaklığı sabit kaldığı sürece sabittir. Depodaki suyun seviyesi sifon tertibatı ile sabit tutularak değişik sıcaklıklarda pompa debisi tespit edildi. Reaktörün içindeki ısı değiştiricisinden geçirilen ve tuz hidratlarının erimesini (faz değiştirmesini) sağlayan suyun sisteme veriliş sıcaklığı tuzun erime noktasına bağlı olarak değiştirildi. Bunun içi herhangi bir

sıcaklıkta su banyosundan pompalanan suyun birim zamandaki miktarı bilinmelidir. Bu deneyde sabit sıcaklık banyosunun termostatı çeşitli sıcaklıklara ayarlanıp bu sıcaklıklardaki suyun debisi ölçüldü. Örneğin termostatın sıcaklığı 25°C ye ayarlandı ve sıcaklık sabit hale gelince sirkülasyon pompasıyla beraber kronometre çalıştırıldı. Isı değiştiricisinden çıkan su bir ölçü kabında toplandı. Bu şekilde deney, sabit bir değer elde edinceye kadar tekrarlanarak suyun ısı değiştiriciden dakikadaki geçen miktarı hesaplandı. Sabit sıcaklık banyosundaki suyun miktarını sabit tutmak için bir sifon sistemi kuruldu. Böylece ısı değiştiriciden ölçü kabına ne kadar su akıysa sifondanda su banyosuna okadar su akmaktadır. Çeşitli sıcaklıklarda ölçülen su debileri zamana karşı grafiğe geçirildi (Şekil.2.3). Böylece istenilen herhangi bir sıcaklıktaki suyun debisi kolayca grafikten okunabilmektedir.

2.3.5. Tuz Hidratlarının Soğuma Eğrilerinin Çizilmesi

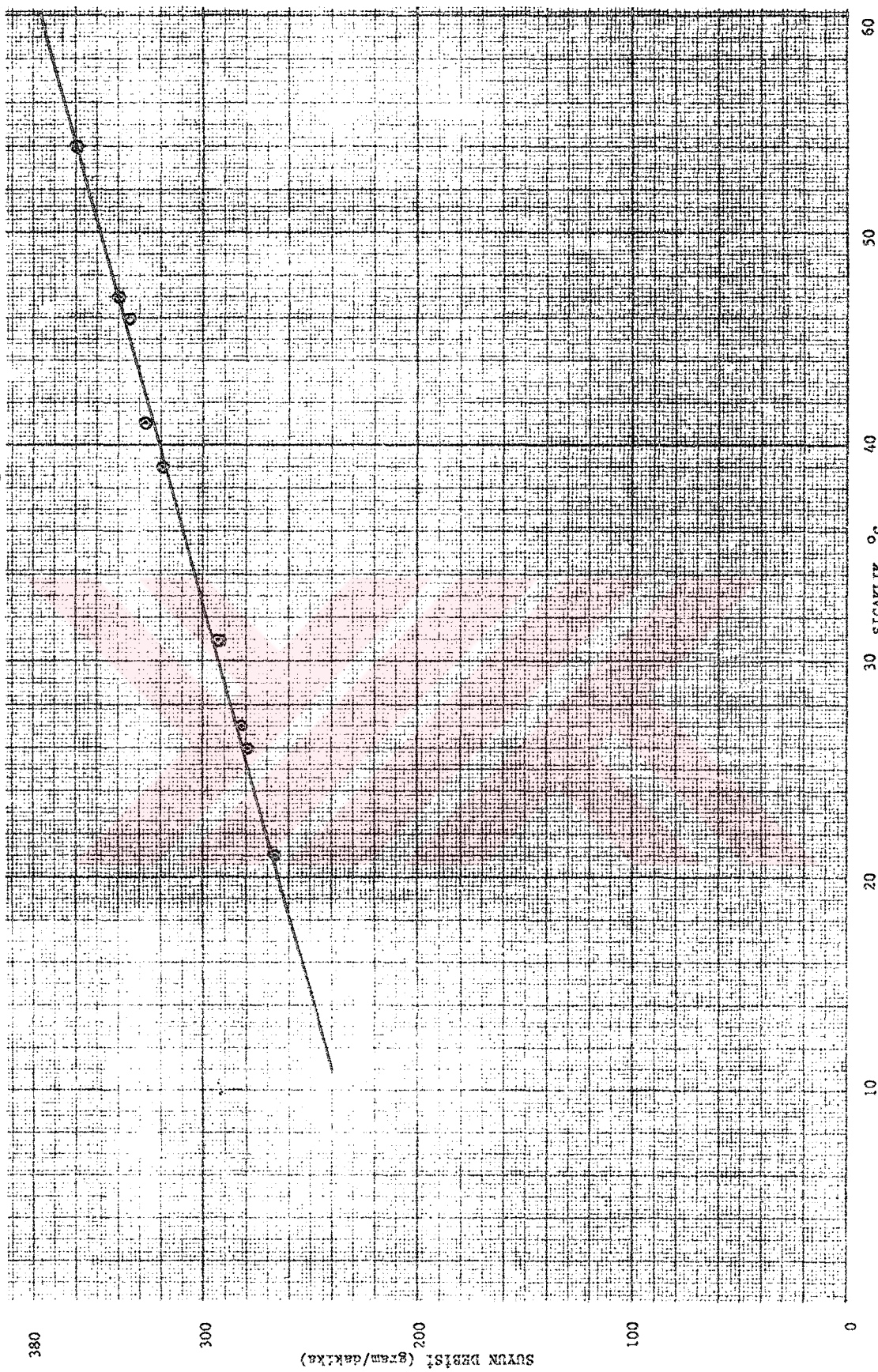
Bu deneyde $\text{CaCl}_2 \cdot 6\text{H}_2\text{O}$ ile $\text{Na}_2\text{SO}_4 \cdot 10\text{H}_2\text{O}$ 'nın soğuma eğrileri çizilmiştir. Deney için Şekil.2.4 de görülen düzenek kullanılmıştır. Tuz hidratlar erime noktalarının üzerindeki sıcaklıkta eritilip numune tüpüne konularak karıştırıcıyla karıştırıldı. Belirli zaman aralıklarında sıcaklıklar termometreden ölçüldü. Bu işleme sıcaklık izlenerek sıcaklık değişiminin olmadığı sürece devam edildi. Sıcaklık düşmesi baslayınca sonlandırıldı. Zamanla karşı ölçülen sıcaklıklar grafiğe geçirilerek tuz hidratın soğuma eğrisi elde edildi (Şekil.2.4.). Bu işlemin tersi yapılarak tuz hidratların ısınma eğrisi çizilmiş olur.

2.3.6. En Düşük Erime Noktasına Sahip Sodyum Sulfat-Sodyum Karbonat Karışımının Belirlenmesi

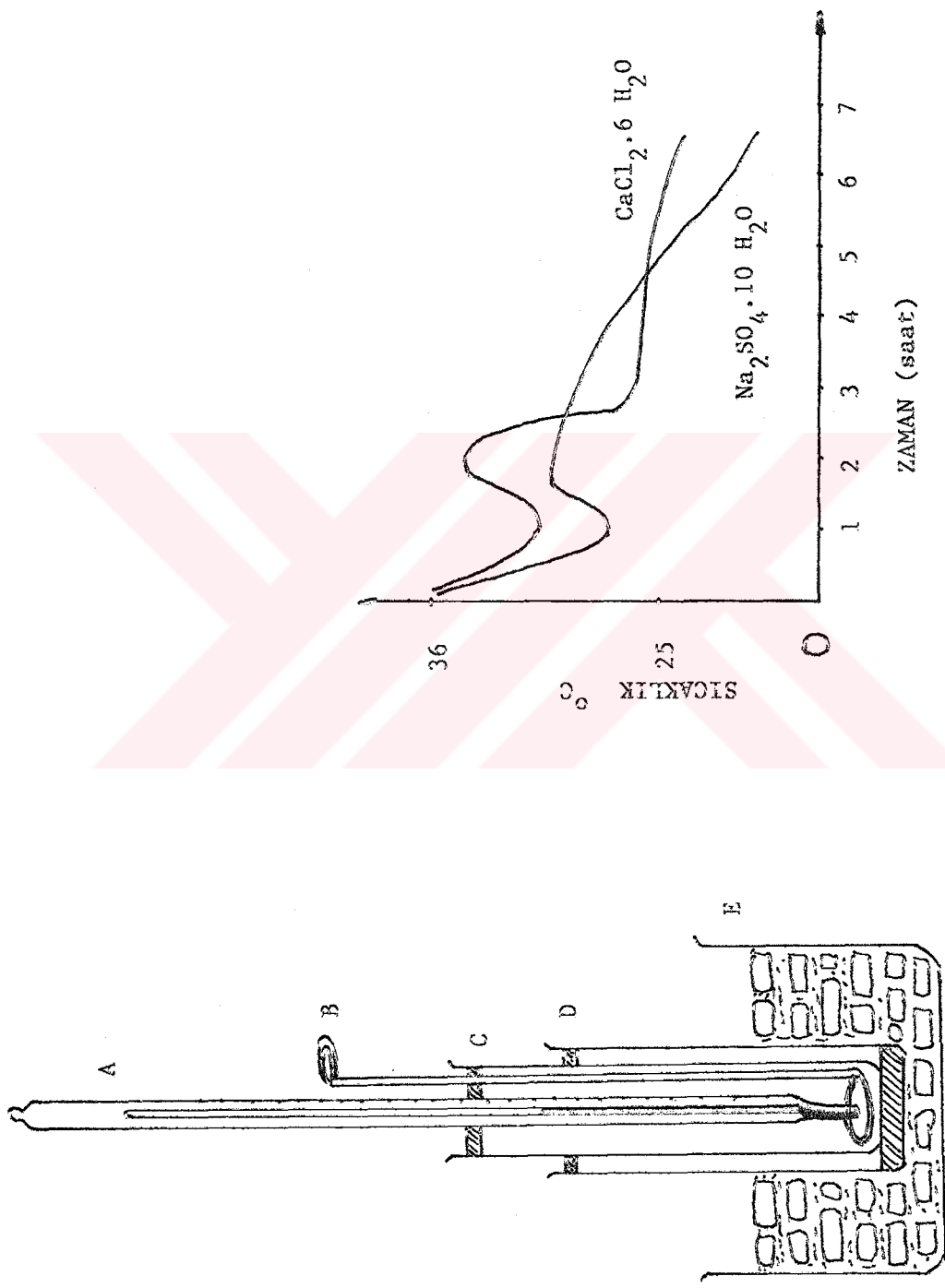
Değişik miktarlarda tuz hidratlar erimiş halde hassas bir şekilde tartılıp ayrı ayrı deney tüplerine karışım halinde konuldu. Böylece çeşitli ağırlık oranlarında tuz hidrat karışımı hazırlanıp kristalleşmesi için soğuk bir ortama kondu. Daha sonra herbir tuz hidrat karışımından bir miktar alınıp saat camı üzerinde desikatore kondular. İçerdikleri fazla miktarındaki suyun uzaklaşması için desikatörde bir gün bekletildiler. Daha sonra karışım nümuneleri desikatörden çıkarılıp tek tek erime noktalarına bakıldı. Ölçülen erime noktaları konsantrasyonlara karşı grafiğe geçirildi. Çizilen karışım eğrisi Şekil.2.5 de görülmektedir.

2.3.7. Korozyon Deneyi

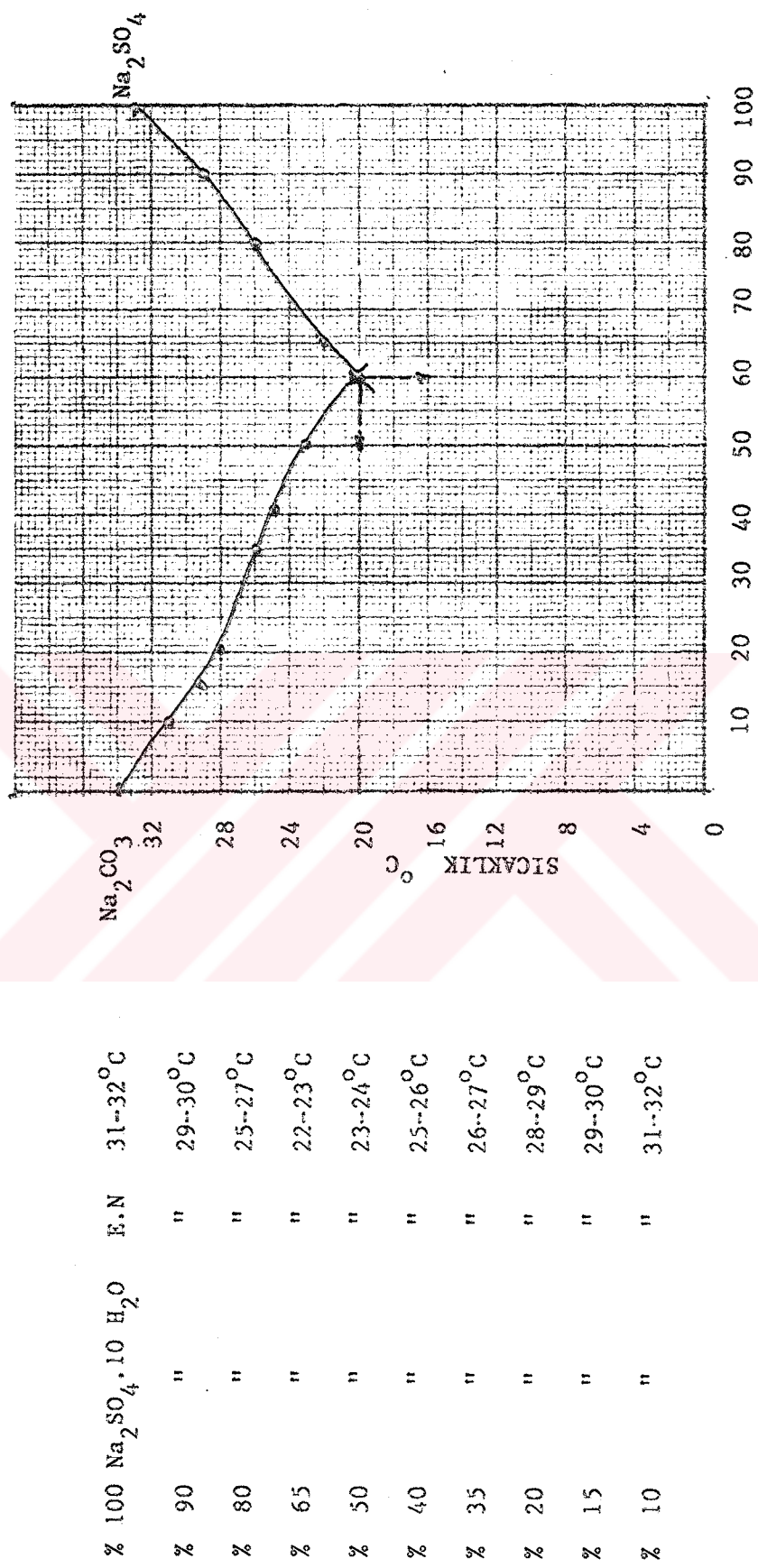
Bu deneyde, kullanılan tuz hidratlarının ısı değiştirici olarak kullanılan bakır boru üzerindeki korozyon etkileri kabaca tayin edildi.



Sekil 2.3 Çeşitli sıcaklıklarda bitim zamanda ısı değiştiricisinden geçen suyun debisinin okunduğu grafik



Sekil.2.4. $\text{CaCl}_2 \cdot 6 \text{ H}_2\text{O} \rightarrow \text{Na}_2\text{SO}_4 \cdot 10 \text{ H}_2\text{O}$ için çizilen soğuma eğrileri ve kullanılan
Düzenek ; A : Termometre ; B : Termometre ; C : Karıştırıcı ; D : Nümune tüpü ; E : Hava ceketi ; E : Kristallizatuvan



Sekil.2.5. Sodyum Sülfat - Sodyum Karbonat Karışımının değişik konsantrasyonlardaki erime noktaları

Süphesiz korozyon olayı başlı başına araştırılacak bir konu olup bu tezin amacı değildir. Çünkü korozyon olayına etki eden pekçok faktör vardır. Burada sadece belli zamanda belli ağırlıktaki metalin tuz hidrat içinde ne kadar madde kaybına uğradığı ölçülmüştür.

Korozyon deneyleri için 50 ml lik erlenler alınarak içlerine daha önce hazırlanan tuz hidratlar kondu. Farklı boyutlarda alınan bakır boruların yüzeyleri iyice temizlendi. Hassas bir şekilde tartılarak erlenlerin içine konuldu. Erlenlere numara verilerek hangi erlende hangi tuz hidratın bulunduğu ve içine konan bakır borunun ağırlığının ne kadar olduğu kaydedildi. Erlenlerin ağızları mantarla iyice kepetlip deneylere başlandı. Erlenler hergün içlerindeki kimyasal maddenin erime noktasına göre sekiz saat sabit sıcaklıkta kalacak şekilde ısıtıldılar. Gününe geri kalan zamanında ise madde soğduğundan kristal halde bulunmaktadır. Böylece deneylere bir ay devam edildi. Bir ay sonra bakır borular alkol ve asetonda iyice yıkandılar. Daha önce tartımları yapılan terazide aynı şekilde hassas olarak tartıldılar. Böylece otuz günlük sürede bakır borularda meydana gelen kayıp bize kabaca korozyon hızını vermektedir.

2.3.8. Su ile Reaktörün Kalibrasyonu

Bu deney için Şekil.2.2 deki düzenek kullanıldı. Önce reaktöre 1150 gr su kondu. Sistemin termal dengeye gelmesi için yarım saat kadar beklandı. Daha sonra sirkülyasyonlu sabit su banyosunun termostatı 55°C ye ayarlandı. Sistem çalıştırıldı ve ikişer dakika aralıklarıla su girişi, su çıkıştı ve reaktörün içindeki sıcaklık mV olarak dijital multimetreden okunup kaydedildi. Önceleri reaktördeki suyun sıcaklığı ve ısı değiştirici çıkışındaki suyun sıcaklığı sürekli değişirken, daha sonra sıcaklık değişimleri gittikçe azalmaya ve nihayet belli bir değerde sabit kalmaya başladı. Bu durum deneyin tamamlandığını göstermektedir. Çünkü artık sisteme ısı transferi olmamaktadır. Bu durumda deneye son verildi. Daha sonra suyun giriş sıcaklığını artırılarak aynı işlemler tekrarlandı. Yine sıcaklık değişimleri sabit kalınca deneye son verildi.

2.3.9. Tuz Hidratlarının İşı Depolama Kapasitelerinin Belirlenmesi

Bu deney için Şekil.2.2 deki düzenek kullanıldı. Önce ısı depolama kapasitesi belirlenecek olan kimyasal madde tartılarak erimiş olarak reaktöre dolduruldu ve kristalleşmesi için bir gün bekletildi. Ölçümlere başlanmadan önce her deney için, sıcaklık ölçümünde referans alınan buz banyosu

hazırlanmaktadır.Daha sonra sabit sıcaklık banyosunu sıcaklığı tuzun erime noktası üzerindeki 45°C ‐ı sıcaklığa ayarlanarak deneye başlandı.

Böylece maddenin erimesi için reaktöre sürekli olarak sabit sıcaklıkta su gönderildi . İkişer dakika aralıklarla su girişi,su çıkıştı ve reaktörün içindeki sıcaklıklar dijital multimetre den mV olarak okundu. Bu değerler 2.3.3'de açıklandığı gibi $^{\circ}\text{C}$ olarak sıcaklığa çevrildi.Deney esnasında karıştırıcı 200 dev./dk. hızla çalıştırıldı .Deneye reaktör merkezindeki sıcaklık artışı ile su çıkışı sıcaklığındaki artışın sabit kalmasına kadar devam edildi.Deney sonuna doğru bu sıcaklıklarda biraz artma gözlandı.Daha sonra sıcaklıklar sürekli olarak sabit kaldı.Bu durumda deneye son verildi.Aynı işlemler diğer tuz hidratları için tekrarlandı.

2.3.10. Su ve Kalsiyum Klorür Hekzahidrat ile İsi Pompasında

Yapılan ısı Depolama Deneyi

Deneyde Şekil.2.1 de şematik olarak verilen ısı pompası ve ona bağlı olan depolama kabi kullanıldı.İlk önce deponun içine 6 Kg su dolduruldu. Sistem termik deneye geldikten sonra termometreyle suyun sıcaklığı ölçüldü.Daha sonra ısı pompası ısıtma konumuna getirilerek çalıştırılmaya başlandı.Bu arada başlangıç zamanı kaydedildi.Depodaki suyun sıcaklığı istenilen noktaya gelince bu sefer ısı pompası soğutma konumunda çalıştırılmaya başlandı.Soğutma işlemine su sıcaklığının başlangıç sıcaklığına düşmesine kadar ,yani aldığı isiyi verinceye kadar devam edildi.Başlangıç ve bitiş zamanı kaydedilerek ısı pompası tarafından belli bir zamanda ne kadar ısıtma ve soğutmanın yapıldığı ölçüldü.Aynı deney deponun içine $\text{CaCl}_2 \cdot 6\text{H}_2\text{O}$ konularak birkaç kez tekrarlandı.Kalsiyum klorür için ısıtma işlemine tuzun erime noktasının üst sınırına kadar($33-34^{\circ}\text{C}$) ve soğutma işlemine de maddeinin başlangıçtaki sıcaklığına düşünceye kadar devam edildi.

BÖLÜM 3

DENEY SONUÇLARI

3.1. Tuz Hidratlarının İSİ DEPOLAMA KAPASİTELERİNİN HESAPLANMASI Sıcaklık Dağılım Grafiklerinin Çizilmesi

Kalsiyum Klorür Hekzahidrat ($\text{CaCl}_2 \cdot 6\text{H}_2\text{O}$) :

Bu tuz hidratının 1700 gr ile yapılan ısı depolama kapasite deneyine 140 dakika devam edildi. İkişer dakika aralıklarla sıcaklıklar ölçülmüştür. Bu deney için ısı değiştiricisine giren suyun sıcaklığı sabit sıcaklık banyosu ile $45^{\circ}\text{C} \pm 1$ olarak sabit bir değerde tutulmuştur. $\text{CaCl}_2 \cdot 6\text{H}_2\text{O}$ nun birim zamanda depoladığı ısı miktarı formül (1) ile hesaplanıp ölçülen sıcaklıklarla beraber Tablo.3.1 de verilmiştir.

$$Q = m_{\text{su}} * t * C_{\text{Psu}} * (T_{\text{su giriş}} - T_{\text{su çıkış}}) \quad (1)$$

burada ,

Q : Depolanan ısı, Kcal

m_{su} : Suyun giriş sıcaklığındaki debisi, gr/dk (Şek. 2.3 den)

t : Zaman, dakika

T : Sıcaklık, $^{\circ}\text{C}$

C_{Psu} : Suyun özgül ısısı , (1.01 Kcal/Kg $^{\circ}\text{C}$)

Deney esnasında ölçülen sıcaklıklar zamana karşı grafiğe geçirilerek Şekil.3.1 de görülen dağılım eğrileri elde edildi. Şekilde görüldüğü gibi $\text{CaCl}_2 \cdot 6\text{H}_2\text{O}$ in sıcaklığı belki bir zamana kadar sürekli olarak yükselmektedir. Madde erimeye başladıktan sonra sıcaklığı erime noktasına uygun olarak hemen hemen sabit kalmaktadır. Deneyin sonlarında ise birmiktar artma göstermektedir. Kalsiyum klorür hekzahidratın ısı depolaması sıcaklık değişiminin çok az değiştiği bu aralıkta olmaktadır. Grafikte bu aralık 25-125.dk. aralığıdır.

Tablo.3.1 de hesaplanan ısı miktarları biri zamanda depolanan ısı miktarlarıdır. $\text{CaCl}_2 \cdot 6\text{H}_2\text{O}$ in erime noktası boyunca depoladığı füzyon ısısını bulmak için 25.dk ile 125.dakika arasındaki elde edilen Q değerlerini toplamak gerekmektedir. Tablo 3.1 den bu aralıktaki değerler toplandığında toplam ısı depolama kapasitesi 1700 gr madde için 76.15 Kcal olup bunu Kilogram olarak ifade ettiğimizde 44.79 Kcal olarak bulunur. Bu değer literatürde verilen değere yakındır.

Sodyum Sulfat Dekahidrat ($\text{Na}_2\text{SO}_4 \cdot 10\text{H}_2\text{O}$) :

Bu maddenin 1380 gr ile ısı depolama kapasite deneyi 180 dakika yapılmıştır. Sıcaklıklar ikişer dakika aralıklarla ölçülmüş ve Tablo 3.2 de topluca verilmiştir. Bu deney için ısı değiştiricisine giren suyun sıcaklığı sabit sıcaklık banyosu ile 42°C olarak sabit bir değerde tutulmuştur. $\text{Na}_2\text{SO}_4 \cdot 10\text{H}_2\text{O}$ nin birim zamanda depoladığı ısı miktarı formül (1) yardımıyla hesaplanıp elde edilen değerler Tablo 3. 2 de verilmiştir. Bu sıcaklıklar zamana karşı grafiğe geçirilerek bu maddenin sıcaklık dağılım grafiği çizilmiştir. Elde edilen sıcaklık-dağılım eğrileri Şek. 3.2 de görülmektedir. Yine burada da maddenin sıcaklığı erime noktasına kadar artmaktadır daha sonra ise belirli zaman aralığında hemen hemen sabit kalmaktadır. Şekilde bu aralığın 42. dak ile 156. dakika arasında olduğu görülmektedir. Deneyin sonuna doğru sıcaklık bir miktar artış göstermekte dir. $\text{Na}_2\text{SO}_4 \cdot 10\text{H}_2\text{O}$ nun ısı depolaması 42. dak-156. dak. aralığında olmaktadır. Füzyon ısısı şeklinde depolanan toplam ısı侧结构性iz zaman aralığındaki depolanan birim isıların toplamıdır. Buna göre 1380 gr maddenin depoladığı toplam ısı miktarı 83.14 Kcal dır. Bir kilogram maddenin depoladığı ısı ise 60.24 Kcal dır.

Sodyum Karbonat Dekahidrat ($\text{Na}_2\text{CO}_3 \cdot 10\text{H}_2\text{O}$) :

Bu tuz hidratın 1590 gr ile yapılan ısı depolama deneyi 150 dakika devam etmiştir. Sıcaklıklar ikişer dakika aralıklarla ölçülmüş olup Tablo 3. 3 de verilmiştir. Isı değiştiricisinin giriş sıcaklığı sabit sıcaklık banyosu ile $43^{\circ}\text{C} \pm 1$ olarak sabit bir değerde tutulmuştur. Sodyum Karbonat Dekahidrat'ın birim zamanda depoladığı ısı miktarı formül (1) yardımıyla hesaplanarak Tablo 3. 3 de verilmiştir.

Ölçülen sıcaklıklar zamana karşı grafiğe geçirilerek bu madde için sıcaklık dağılım grafiği elde edildi. (Şek. 3. 3.). Grafikten kimyasal maddenin 15. dakikaya kadar sıcaklığının sürekli arttığını, fakat madde erimeye başladıktan sonra sıcaklığın hemen hemen sabit kaldığını, deneyin sonuna doğru biraz arttığını. Bu aralıkta (15. dak. - 130. dak. arası) dışarıdan verilen ısı madde tarafından fizyon ısısı olarak depolamıştır. Depolanan toplam fizyon ısısı, daha önce hesaplanan birim isılarına eşittir. Yani 15. dakikadan 130. dakikaya kadar depolanan isıların toplamıdır. Tablo 3.3. deki hesaplanan isılar toplanırsa 1590 gr $\text{Na}_2\text{CO}_3 \cdot 10\text{H}_2\text{O}$ in depoladığı toplam ısı miktarı 94.39 Kcal dır. Bir kilogram maddenin depoladığı fizyon ısısı ise 59.36 Kcal dır.

Disodyum Fosfat Dodekahidrat ($\text{Na}_2\text{HPO}_4 \cdot 12\text{H}_2\text{O}$):

Bu maddenin 1580 gr ile yapılan ısı depolama deneyi 225 dakika devam etmiştir. Sıcaklıklar ikişer dakika aralıklarla ölçülmüş olup Tablo 3. 4 de verilmiştir. Isı değiştiricisinin giriş sıcaklığı sabit sıcaklık banyosu ile $53^{\circ}\text{C} \pm 1$ olarak sabit bir değerde tutulmuştur. $\text{Na}_2\text{HPO}_4 \cdot 12\text{H}_2\text{O}$ in birim zamanında depoladığı ısı miktarı formül(1) yardımıyla hesaplanmış ve sonuçlar Tablo 3. 4 de verilmiştir. Ölçülen sıcaklıklar zamana karşı grafiğe geçirilerek sıcaklık dağılım eğrileri elde edildi. (Şek. 3. 4) Grafikten $\text{Na}_2\text{HPO}_4 \cdot 12\text{H}_2\text{O}$ nin 40. dakikaya kadar sıcaklığının sürekli arttığını, fakat madde erimeye başladıkta sonra sıcaklığının hemen hemen sabit kaldığını, 200.dk. ise artmağa başladığı görülmektedir. İşte sıcaklığın çokaz değiştiği bu aralikta (40-200. dak arası) dışarıdan verilen ısı madde tarafından fizyon ısısı olarak depolanmaktadır. Fizyon ısısı , bu aralıktaki birim ısiların toplamına eşittir. Tablo 3. 4 deki hesaplanan birim ısilar toplanırsa 1580 gr. $\text{Na}_2\text{HPO}_4 \cdot 12\text{H}_2\text{O}$ in depoladığı toplam ısı miktarı 103.52 Kcal dir. Bir kilogram maddenin depoladığı fizyon ısısı ise 65.51 Kcal dir. Hesaplanan bu değer literatür değeri ile uyuşmaktadır.

Sodyum Sülfat - Sodyum Karbonat Karışımı :

Bu karışım ağırlıkça %60 $\text{Na}_2\text{SO}_4 \cdot 10\text{H}_2\text{O}$ ve %40 $\text{Na}_2\text{CO}_3 \cdot 10\text{H}_2\text{O}$ dan meydana gemiştir.Bu karışımın 1550 gr ile yapılan deney 150 dakika devam etmiştir. Sıcaklıklar ikişer dakika aralıklarla ölçülmüş ve Tablo.3.5. de verilmiştir. Su giriş sıcaklığı sabit sıcaklık banyosu ile $30^{\circ}\text{C} \pm 1$ olarak sabit bir değerde tutulmuştur.Bu karışımın birim zamanda depoladığı ısı miktarı formül(1) yardımıyla hesaplanmış ve elde edilen değerler Tablo.3.5. de verilmiştir. Ölçülen sıcaklıklar zamana karşı grafiğe geçirilerek sıcaklık dağılım eğrileri elde edildi (Şekil.3.5).Grafikten bu tuz hidrat karışımının sıcaklığının ilk zamanlarda sürekli arttığı,erime noktasında ise sabit kaldığı görülmektedir.Karışımın füzyon ısısını depolaması sıcaklık değişiminin sabit kaldığı bu aralikta olmaktadır.Depolanan toplam ısı,bu aralikta her iki dakikada bir absorbladığı ısaların toplamına eşittir.Tablo.3.5. deki ısilar toplanırsa 1550 gr tuz hidrat karışımının depoladığı toplam ısı miktarı 52.80 Kcal dir.Bir kilogram karışımın depoladığı ısı ise 34.06 Kcal dir.

Table.3.1 Kalsiyum Klorür Hekzahidrat için ölçülen deneysel değerler

T_1 : Reaktörün merkezindeki sıcaklık, T_2 : Su giriş sıcaklığı, T_3 : Su çıkış sıcak.

Zaman(dakika)	T_1 °C	T_2 °C	T_3 °C	Q(Dep.ısı, Kcal)
0	15.19	44.20	20.15	-
2	17.98	44.90	28.17	10.807
4	22.54	45.00	31.11	9.239
6	23.76	45.00	34.85	6.800
8	25.23	45.00	35.58	6.311
10	25.23	45.00	37.20	5.226
12	26.21	45.00	38.10	4.623
14	26.95	45.00	38.80	4.154
16	27.53	45.00	39.50	3.685
18	27.91	45.00	40.10	3.283
20	28.40	45.00	40.60	2.948
22	29.13	45.02	40.80	2.814
24	29.87	45.00	41.10	2.613
26	30.36	45.00	41.10	2.613
28	30.36	45.00	41.35	2.445
30	30.36	45.00	41.55	2.311
32	30.36	45.00	41.55	2.311
34	30.36	45.00	41.55	2.311
36	30.36	45.00	41.95	2.043
38	30.36	45.00	42.10	1.943
40	31.60	45.00	42.20	1.876
42	31.60	45.04	42.20	1.876
44	31.60	45.00	42.20	1.876
46	31.60	45.00	42.20	1.876
48	31.60	45.00	42.60	1.608
50	32.54	45.00	42.60	1.608
52	32.54	45.00	42.60	1.608
54	32.54	45.00	42.60	1.608
56	32.54	45.00	42.60	1.608
58	32.54	45.00	42.60	1.608
60	32.54	45.00	42.60	1.608
62	32.54	45.00	42.60	1.608
64	32.54	45.00	42.60	1.608
66	32.54	45.00	42.60	1.608
68	32.54	45.00	42.60	1.608
70	32.23	45.00	42.80	1.474

Zaman(dakika)	T ₁ °C	T ₂ °C	T ₃ °C	Q(Dep. Isı,Kcal)
72	33.23	45.00	42.80	1.474
74	33.23	45.00	42.80	1.474
76	33.23	45.00	42.80	1.474
78	33.23	45.00	42.80	1.474
80	33.23	45.00	42.80	1.474
82	33.23	45.00	42.80	1.474
84	33.23	45.00	42.80	1.474
86	33.23	45.00	42.80	1.474
88	33.23	45.04	42.80	1.474
90	33.23	45.00	42.80	1.474
92	33.23	45.00	42.80	1.474
94	33.23	45.00	42.80	1.474
96	33.23	45.00	42.80	1.474
98	33.23	45.00	42.80	1.474
100	33.23	45.00	42.80	1.474
102	34.33	45.00	42.80	1.474
104	34.33	45.00	42.95	1.373
106	34.33	45.00	42.95	1.373
108	34.33	45.00	42.95	1.373
110	34.33	45.00	43.10	1.273
112	34.33	45.00	43.10	1.273
114	34.33	45.00	43.10	1.273
116	34.33	45.06	43.20	1.206
118	34.33	45.00	43.20	1.206
120	34.33	45.00	43.20	1.206
122	34.33	45.00	43.20	1.206
124	34.33	45.00	43.50	1.005
126	34.33	45.00	43.50	1.005
128	34.33	45.00	43.50	1.005
130	35.10	45.00	43.80	0.804
135	36.80	45.00	43.85	1.926
140	37.40	45.00	44.00	1.675

Tablo.3.2 Sodyum Sülfat Dekahidrat için ölçülen deneyel değerler

T_1 : Reaktörün merkezindeki sıcaklık, T_2 : Su giriş sıcaklığı, T_3 : Su çıkış sıcak.

Zaman(dakika)	T_1 °C	T_2 °C	T_3 °C	Q(Dep.ısı, Kcal)
0	18.54	41.16	22.86	-
2	19.52	41.95	28.91	8.501
4	20.74	42.00	32.13	6.350
6	22.19	42.00	35.11	4.478
8	23.40	42.00	36.34	3.679
10	23.93	42.00	36.83	3.360
12	24.66	42.00	37.32	3.042
14	25.15	42.00	37.56	2.886
16	25.64	42.00	37.81	2.723
18	25.89	42.00	38.05	2.600
20	26.38	42.00	38.05	2.600
22	26.87	42.00	38.30	2.405
24	27.36	42.00	38.30	2.405
26	27.85	42.00	38.54	2.249
28	28.34	42.00	38.54	2.249
30	28.58	42.00	38.79	2.086
32	28.83	42.00	38.83	2.060
34	29.07	42.01	38.94	1.989
36	29.32	42.00	38.94	1.989
38	29.56	42.00	38.94	1.989
40	29.56	42.00	38.94	1.989
42	29.81	42.00	38.94	1.989
44	29.81	42.00	39.18	1.833
46	30.05	42.00	39.18	1.833
48	30.30	42.00	39.43	1.670
50	30.54	42.00	39.43	1.670
52	30.54	42.00	39.43	1.670
54	30.54	42.00	39.43	1.670
56	30.54	42.00	39.43	1.670
58	30.79	42.00	39.43	1.670
60	30.79	42.00	39.43	1.670
62	30.79	42.02	39.43	1.670
64	30.79	42.00	39.43	1.670
66	31.03	42.00	39.43	1.670
68	31.03	42.00	39.57	1.579

Zaman(dakika)	T ₁ °C	T ₂ °C	T ₃ °C	Q(Dep. Isı, Kcal)
70	31.03	42.00	39.67	1.514
72	31.28	42.00	39.67	1.514
74	31.28	42.00	39.67	1.514
76	31.28	42.00	39.67	1.514
78	31.28	42.00	39.67	1.514
80	31.28	42.00	39.67	1.514
82	31.28	42.00	39.67	1.514
84	31.28	42.01	39.67	1.514
86	31.28	42.00	39.67	1.514
88	31.28	42.00	39.67	1.514
90	31.28	42.00	39.67	1.514
92	31.28	42.00	39.67	1.514
94	31.28	42.00	39.67	1.514
96	31.28	42.00	39.67	1.514
98	31.28	42.00	39.67	1.514
100	31.28	42.00	39.67	1.514
102	31.28	42.00	39.67	1.514
106	31.52	42.00	39.80	2.860
108	31.52	42.00	39.92	1.352
110	31.52	42.00	39.92	1.352
112	31.77	42.00	39.92	1.352
114	31.77	42.00	39.92	1.352
116	31.77	42.00	40.00	1.300
118	31.77	42.02	40.16	1.196
120	31.77	42.00	40.16	1.196
122	31.77	42.00	40.16	1.196
124	31.77	42.00	40.16	1.196
126	31.77	42.00	40.16	1.196
128	32.01	42.00	40.16	1.196
130	32.01	42.00	40.16	1.196
132	32.01	42.00	40.16	1.196
134	32.01	42.00	40.16	1.196
136	32.01	42.00	40.16	1.196
138	32.01	42.00	40.16	1.196
140	32.01	42.00	40.16	1.196
142	32.01	42.00	40.16	1.196
144	32.01	42.00	40.16	1.196
146	32.01	42.00	40.16	1.196

Zaman(dakika)	T ₁ °C	T ₂ °C	T ₃ °C	Q(Dep. Isı, Kcal)
148	32.26	42.00	40.16	1.196
150	32.26	42.00	40.16	1.196
152	32.26	42.00	40.16	1.196
154	32.50	42.00	40.16	1.196
156	32.50	42.00	40.16	1.196
158	32.75	42.00	40.16	1.196
160	32.75	42.00	40.16	1.196
162	32.75	42.02	40.16	1.196
164	32.75	42.00	40.16	1.196
166	32.75	42.00	40.46	1.001
168	33.40	42.00	40.70	0.845
172	33.60	42.00	40.80	0.780
178	34.10	42.00	41.10	0.585
180	34.50	42.00	41.20	0.520

Tablo.3.3 Sodyum Karbonat Dekahidrat için ölçülen deneysel değerler

T_1 : Reaktörün merkezindeki sıcaklık; T_2 : Su giriş sıcaklığı; T_3 : Su çıkış sıcak.

Zaman(dakika)	T_1 °C	T_2 °C	T_3 °C	Q(Dep. Isı, Kcal)
0	19.01	41.02	20.90	-
2	23.85	41.95	30.10	11.731
4	27.20	43.30	33.02	5.702
6	30.00	43.30	35.25	5.313
8	31.30	43.30	35.30	5.280
10	31.30	43.30	37.10	4.092
12	31.30	43.30	37.80	3.630
14	32.20	43.30	38.30	3.300
16	33.30	43.30	38.80	2.970
18	33.65	43.30	39.10	2.772
20	33.85	43.30	39.50	2.508
22	33.85	43.30	39.75	2.343
24	33.90	43.30	39.80	2.310
26	33.90	43.30	39.94	2.217
28	33.90	43.30	40.07	2.131
30	33.90	43.30	40.18	2.059
32	33.90	43.30	40.20	2.046
34	33.90	43.32	40.30	1.980
36	33.90	43.30	40.40	1.914
38	33.90	43.30	40.42	1.900
40	33.90	43.30	40.42	1.900
42	34.07	43.30	40.50	1.848
44	34.30	43.30	40.67	1.735
46	34.30	43.30	40.67	1.735
48	34.30	43.30	40.67	1.735
50	34.30	43.30	40.67	1.735
52	34.30	43.30	40.80	1.650
54	34.30	43.30	40.85	1.617
56	34.30	43.30	40.85	1.617
58	34.30	43.31	40.91	1.577
60	34.30	43.30	40.91	1.577
62	34.30	43.30	40.91	1.577
64	34.30	43.30	40.91	1.577
66	34.30	43.30	40.91	1.577
68	34.30	43.30	40.91	1.577
70	34.30	43.30	40.91	1.577

Zaman(dakika)	T ₁ °C	T ₂ °C	T ₃ °C	Q(Dep. Isı, Kcal)
72	34.30	43.30	40.91	1.577
74	35.10	43.30	40.91	1.577
76	35.10	43.30	41.16	1.412
78	35.10	43.30	41.16	1.412
80	35.10	43.32	41.16	1.412
82	35.10	43.30	41.16	1.412
84	35.10	43.30	41.16	1.412
86	35.10	43.30	41.16	1.412
88	35.10	43.30	41.16	1.412
90	35.10	43.30	41.16	1.412
92	35.10	43.30	41.16	1.412
94	35.10	43.30	41.16	1.412
96	35.10	43.30	41.16	1.412
98	35.10	43.30	41.16	1.412
100	35.10	43.30	41.16	1.412
102	35.80	43.30	41.16	1.412
104	35.80	43.30	41.16	1.412
106	35.80	43.30	41.16	1.412
108	35.80	43.30	41.16	1.412
110	35.80	43.30	41.16	1.412
115	35.80	43.30	41.16	1.412
120	35.80	43.30	41.16	1.412
125	35.80	43.30	41.16	1.412
130	35.80	43.30	41.16	1.412
135	36.90	43.30	41.30	1.320
140	37.50	43.30	41.60	1.122
145	38.10	43.30	41.70	1.056
150	38.80	43.30	41.90	

Table.3.4 Disodyum Fosfat Dodekahidrat için ölçülen deneysel değerlerT₁:Reaktörün merkezindeki sıcaklık,T₂:Su giriş sıcaklığı,T₃:Su çıkış sıcak.

Zaman(dakika)	T ₁ °C	T ₂ °C	T ₃ °C	Q(Dep.ısı,Kcal)
0	12.76	49.17	24.15	-
2	15.10	52.90	26.25	17.172
4	17.20	53.16	30.60	15.840
6	19.50	53.16	36.40	12.067
8	20.90	53.16	39.10	10.123
10	22.80	53.16	41.30	8.539
12	24.10	53.16	43.65	6.847
14	26.20	53.16	44.17	6.472
16	26.90	53.16	45.39	5.594
18	27.20	53.16	46.75	4.615
20	28.10	53.16	47.20	4.291
22	30.40	53.16	47.55	4.039
24	30.95	53.16	47.95	3.751
26	31.20	53.16	48.15	3.607
28	32.10	53.16	48.65	3.247
30	32.80	53.16	48.87	3.088
32	33.20	53.16	49.05	2.959
34	33.87	53.16	49.25	2.815
36	34.10	53.16	49.55	2.599
38	34.65	53.16	49.92	2.332
40	34.98	53.16	50.05	2.275
42	35.10	53.16	50.22	2.116
44	35.20	53.18	50.47	1.936
46	35.94	53.16	50.47	1.936
48	36.00	53.16	50.47	1.936
50	36.10	53.16	50.47	1.936
52	36.10	53.16	50.47	1.936
54	36.10	53.16	50.71	1.764
56	36.10	53.16	50.82	1.684
58	36.10	53.16	50.96	1.584
60	36.10	53.16	50.96	1.584
62	36.10	53.16	50.96	1.584
64	36.10	53.16	50.96	1.584
66	36.10	53.16	51.20	1.584
68	36.10	53.15	51.20	1.411
70	36.35	53.16	51.20	1.411
72	36.35	53.16	51.25	1.375

Zaman(dakika)	T ₁ °C	T ₂ °C	T ₃ °C	Q(Dep.Isı,Kcal)
74	36.35	53.16	51.35	1.303
76	36.35	53.16	51.45	1.231
78	36.35	53.16	51.45	1.231
80	36.35	53.16	51.45	1.231
82	36.35	53.16	51.45	1.231
84	36.35	53.16	51.45	1.231
86	36.35	53.16	51.45	1.231
88	36.60	53.16	51.45	1.231
90	36.60	53.16	51.45	1.231
92	36.60	53.16	51.45	1.231
94	36.60	53.16	51.45	1.231
96	36.60	53.16	51.45	1.231
98	36.60	53.16	51.45	1.231
100	36.60	53.14	51.45	1.231
102	36.60	53.16	51.45	1.231
104	36.60	53.16	51.45	1.231
106	36.60	53.16	51.45	1.231
108	36.60	53.16	51.45	1.231
110	36.60	53.16	51.45	1.231
112	36.60	53.16	51.45	1.231
114	36.60	53.16	51.45	1.231
116	36.80	53.16	51.45	1.231
118	36.80	53.16	51.45	1.202
120	36.80	53.16	51.49	1.202
122	36.80	53.16	51.49	1.202
124	36.80	53.16	51.49	1.202
126	36.80	53.16	51.49	1.202
128	36.80	53.16	51.49	1.202
130	36.80	53.16	51.49	1.202
132	36.80	53.16	51.49	1.202
134	36.80	53.16	51.49	1.202
136	36.80	53.16	51.49	1.202
138	36.80	53.16	51.49	1.202
140	36.80	53.16	51.59	1.202
142	36.80	53.16	51.59	1.202
144	36.80	53.16	51.59	1.202
146	36.94	53.16	51.59	1.202
148	36.94	53.16	51.59	1.202

Zaman(dakika)	T ₁ °C	T ₂ °C	T ₃ °C	Q(Dəp. İsi, Kcal)
150	36.94	53.16	51.59	1.202
155	36.94	53.16	51.59	2.826
160	36.94	53.17	51.59	2.826
165	36.94	53.16	51.64	2.736
170	36.94	53.16	51.69	2.646
175	36.94	53.16	51.74	2.556
180	36.94	53.16	51.74	2.556
185	36.94	53.16	51.74	2.556
190	37.11	53.16	51.74	2.556
195	37.11	53.16	51.74	2.556
200	37.11	53.16	51.74	2.556
205	37.80	53.16	51.90	2.268
210	38.40	53.16	52.10	1.908
215	38.96	53.16	52.15	1.818
220	39.97	53.16	52.20	1.728
225	40.80	53.16	52.28	1.584

Tablo.3.5 Sodyum Sülfat-Sodyum Karbonat karışımı için ölçülen deny.değerler

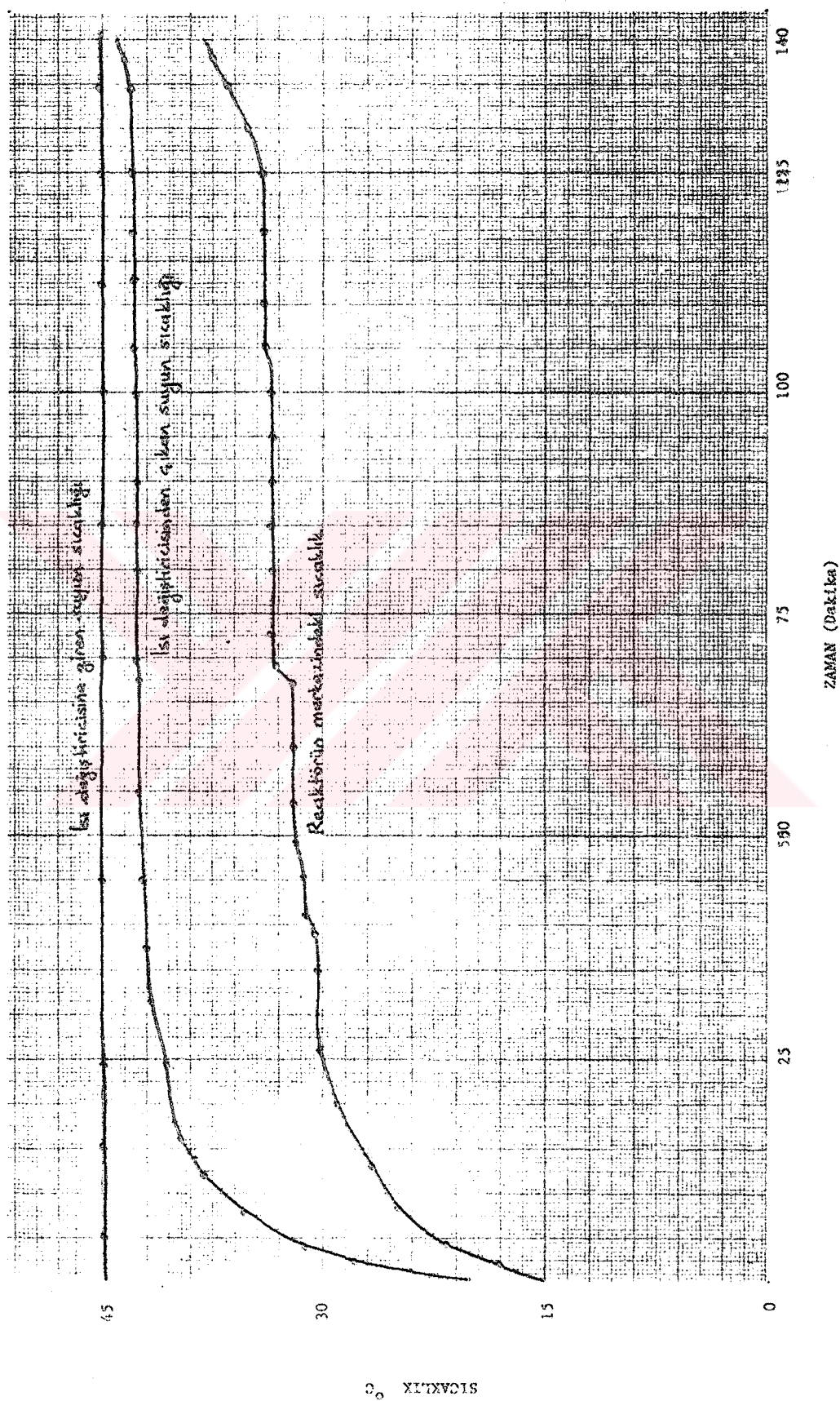
T_1 :Reaktörün merkezindeki sıcaklık, T_2 :Su giriş sıcaklığı, T_3 :Su çıkış sıcak.

Zaman(dakika)	T_1 °C	T_2 °C	T_3 °C	Q(Dep. Isı, Kcal)
0	8.86	29.80	17.37	-
2	10.09	29.85	23.25	3.891
4	12.29	29.89	24.72	3.029
6	14.01	29.89	25.70	2.455
8	14.99	29.89	25.95	2.308
10	15.48	29.89	26.19	2.168
12	15.72	29.89	26.44	2.021
14	16.21	29.89	26.68	1.861
16	16.46	29.89	26.93	1.734
18	16.70	29.89	27.17	1.593
20	17.19	29.89	27.17	1.593
22	17.44	29.89	27.42	1.447
24	17.68	29.89	27.42	1.447
26	17.68	29.89	27.66	1.306
28	18.17	29.89	27.91	1.160
30	18.17	29.89	27.91	1.160
32	18.42	29.89	27.91	1.160
34	18.66	29.89	27.91	1.160
36	18.91	29.89	27.91	1.160
38	18.91	29.89	28.15	1.019
40	18.91	29.87	28.15	1.019
42	18.91	29.89	28.15	1.019
44	18.91	29.89	28.15	1.019
46	19.15	29.89	28.15	1.019
48	19.15	29.89	28.15	1.019
50	19.15	29.89	28.15	1.019
52	19.15	29.89	28.30	0.931
54	19.15	29.89	28.30	0.931
56	19.40	29.89	28.30	0.931
58	19.40	29.89	28.30	0.931
60	19.40	29.89	28.30	0.931
62	19.40	29.89	28.30	0.931
64	19.40	29.89	28.30	0.931
66	19.40	29.89	28.30	0.931
68	19.40	29.89	28.30	0.931
70	19.40	29.89	28.30	0.931

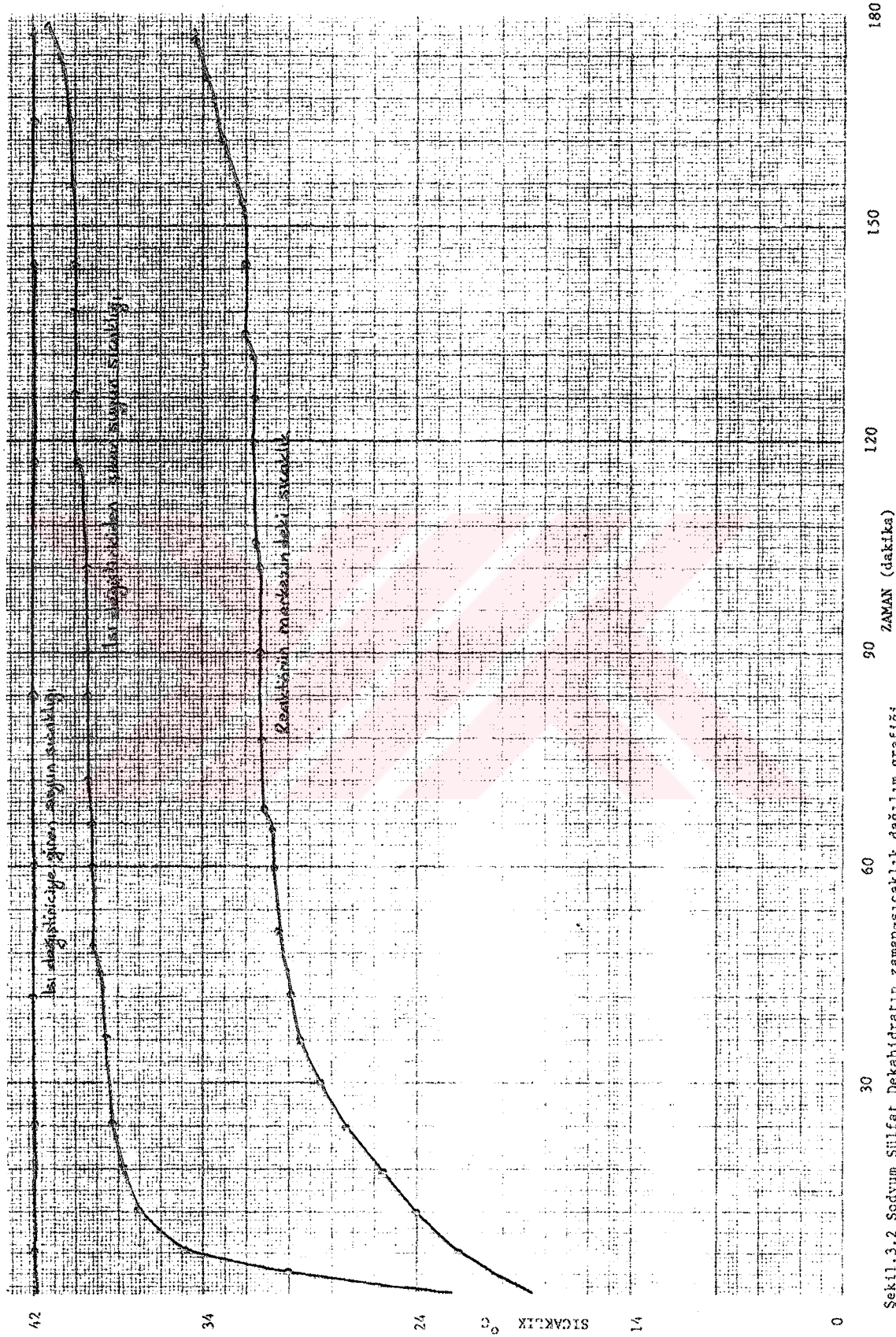
Zaman(dakika)	T ₁ °C	T ₂ °C	T ₃ °C	Q(Dep. Isı, Kcal)
72	19.82	29.89	28.30	0.931
74	19.82	29.89	28.30	0.931
76	19.82	29.89	28.30	0.931
78	19.82	29.89	28.30	0.931
80	19.82	29.89	28.30	0.931
82	19.82	29.89	28.30	0.931
84	19.82	29.89	28.30	0.931
86	19.82	29.89	28.30	0.931
88	20.15	29.89	28.30	0.931
90	20.15	29.88	28.30	0.931
92	20.15	29.89	28.30	0.931
94	20.15	29.89	28.40	0.873
96	20.15	29.89	28.40	0.873
98	20.15	29.89	28.40	0.873
100	20.15	29.89	28.40	0.873
102	20.60	29.89	28.40	0.873
104	20.60	29.89	28.40	0.873
111	20.60	29.89	28.40	3.055
116	20.60	29.89	28.40	2.182
118	20.60	29.89	28.40	0.873
120	20.60	29.89	28.40	0.873
122	20.60	29.87	28.40	0.873
124	20.60	29.89	28.40	0.873
126	20.60	29.89	28.40	0.873
128	20.60	29.89	28.40	0.873
130	20.60	29.89	28.40	0.873
132	20.60	29.89	28.40	0.873
134	20.60	29.89	28.40	0.873
136	20.60	29.89	28.40	0.873
138	20.60	29.89	28.40	0.873
140	20.60	29.89	28.40	0.873
142	21.02	29.89	28.65	0.726
144	21.20	29.89	28.80	0.638
150	21.60	29.89	29.01	1.547

Tablo 3.6. Deneyde Kullanılan Tuz Hidratlarının Topluca Değerlendirilmesi.

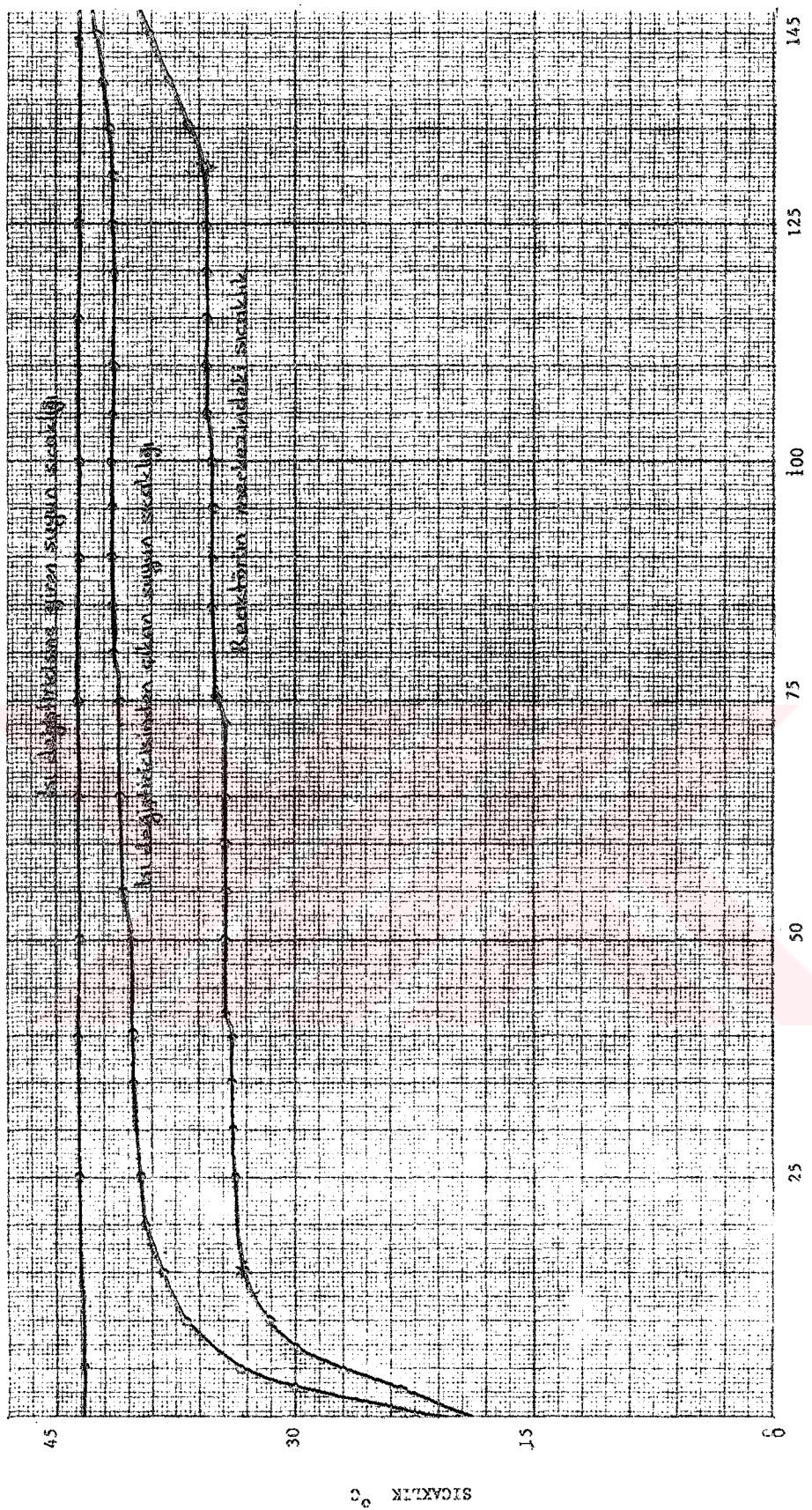
	E.N. °C	d, Kg/m ³	Literattur Q(Kcal)/Kg	Deney 01 Q(Kcal/Kg)	Deney 01 Q(Kcal)/m ³	\$/Kg	\$/Kcal	\$/m ³
Na ₂ SO ₄ .10 H ₂ O	31,6	1460	60,24	60,24	87,950	0,26	0,0043	378,18
Na ₂ CO ₃ .10 H ₂ O	(32,2..36,1)	1440	58,76	59,36	85,478	0,29	0,0048	410,29
CaCl ₂ .6 H ₂ O	(29,3..34,2)	1710	42,13	44,79	76,591	0,17	0,0038	291,04
Na ₂ HPO ₄ .12 H ₂ O	36,1	1520	65,40	65,51	99,575	0,61	0,0093	926,05
(Na ₂ SO ₄ .. Na ₂ CO ₃) 10 H ₂ O	(19..20)	1450	-	34,06	49,387	0,27	0,0080	395,12



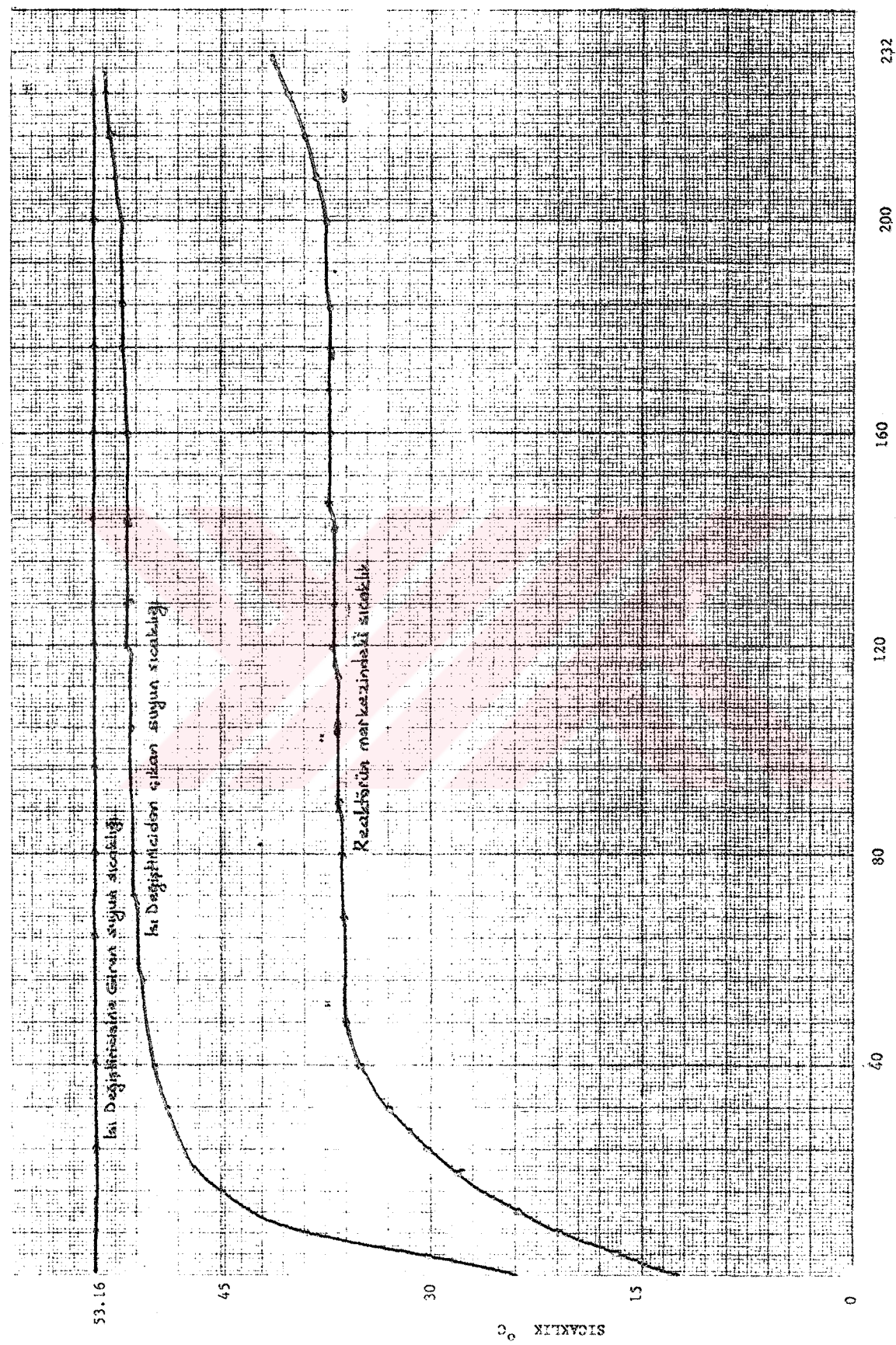
Sekil 1.3.1 Kalstylum klorür hekzahidrat'ın zaman-sıcaklık dağılım grafiği



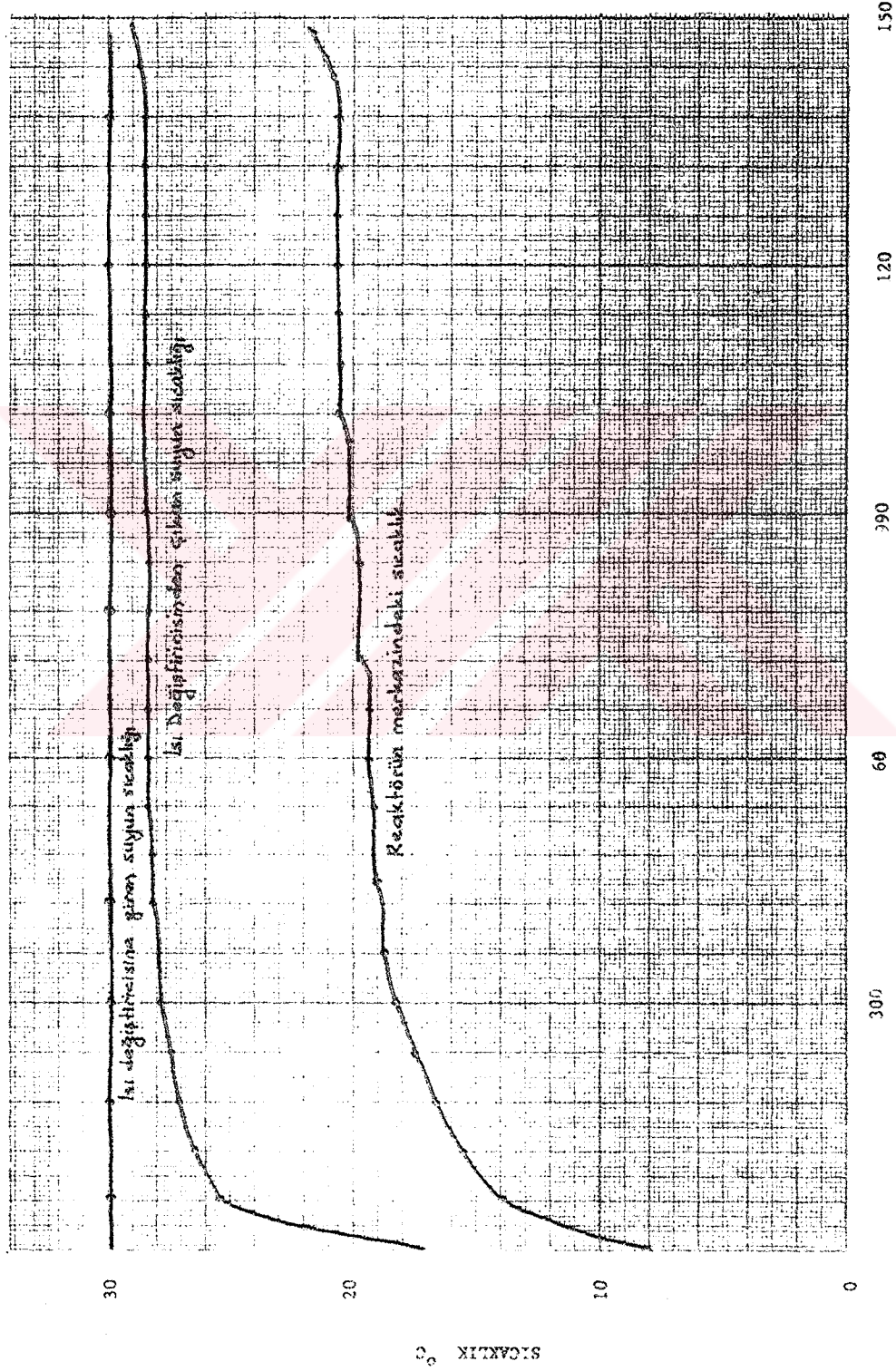
Sekil.3.2 Sodyum Sülfat Dekahidratın zaman-sıcaklık dağılım grafiği



Sekil.3.3 Sodyum karbonat dekahidrat'ın zaman - sıcaklık dağılım grafiği



Sekil 1.3.4. Disodiyum fosfat dodekahidrat'ın zaman-sıcaklık dağılım grafiği - ZAMAN (Dakika)



Sekil 3.5 Sodyum Sülfat - Sodyum karbonat karışımının zaman-sıcaklık dağılım grafiği
ZAMAN (saatka)

3.2 Tuz Hidratlarının İsi Değiştirici Üzerindeki Korozyon Hızları

Bir ay (otuz gün)süreyle yapılan korozyon deneyinde elde edilen sonuçlar Tablo.3.7'de verilmiştir.

Tablo.3.7. Tuz Hidratlarının otuz günlük korozyon hızları

Tuz hidrat	Bakır borunun den.öncesi ağır.	Borunun deney sonrası ağır.	Boruda meyd. gelen kayıp	Korozy.hızı % olarak
$\text{CaCl}_2 \cdot 6\text{H}_2\text{O}$	2.7390 gr.	2.7360 gr.	0.0030 gr	0.109
$\text{Na}_2\text{SO}_4 \cdot 10\text{H}_2\text{O}$	2.5260 "	2.5230 "	0.0030 "	0.118
$\text{Na}_2\text{CO}_3 \cdot 10\text{H}_2\text{O}$	2.9942 "	2.9900 "	0.0042 "	0.140
$\text{Na}_2\text{HPO}_4 \cdot 12\text{H}_2\text{O}$	2.3830 "	2.3790 "	0.0040 "	0.167

3.3 SU ile Reaktörün Kalibrasyonu ve Tüm isi transfer katsayısının hesaplanması

Bu deney 1150 gr su ile çeşitli sıcaklıklarda yapıldı ve bunlardan yalnız bir tanesinde ölçülen sıcaklıklar Tablo.3.6 da verildi, Diğer deneylerde de aynı reaktörde ve aynı miktarda su ile deney yapılmış fakat giriş suyu sıcaklıkları değiştirilmiştir. Deney sonuçlarından ΔT değerlerinin hemen hemen sabit kaldığı gözlenmiştir. Çünkü aynı miktarda su ile ve aynı ortamda deney yapılmıştır.

Burada 1150 gr suyun sıcaklığı sabit sıcaklık banyosundan isiyi sisteme vererek 21.02°C dan 53°C 'a çıkarılmaktadır. İsi değiştirici olarak ,uzunluğu $L = 320 \text{ cm}$ ve çapı $D = 0.5 \text{ cm}$ olan bakır boru kullanılmıştır. Şimdi böyle bir sistem için tüm isi transfer katsayıısını hesaplıyalım :

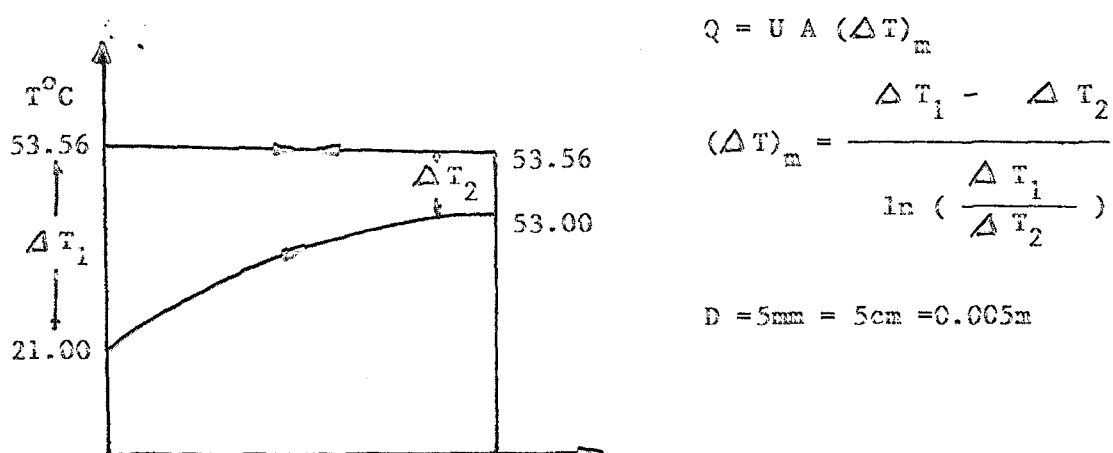


Table.3.8 Reaktörün su ile kalibrasyon deneyin. Ölçülen değerler

T_1 :Reaktörün merkezindeki sıcaklık, T_2 :Suyun giriş sıcaklığı, T_3 :su çıkış.sıc.

Zaman(dakika)	T_1 °C	T_2 °C	T_3 °C
0	21.02	48.93	25.76
2	26.68	53.56	31.55
4	36.65	53.56	38.50
6	43.13	53.56	43.83
8	43.18	53.56	46.38
10	45.91	53.56	48.23
12	48.23	53.56	49.62
14	49.62	53.56	50.32
16	50.32	53.56	51.01
18	50.32	53.56	51.24
20	51.01	53.56	51.71
22	51.24	53.56	51.94
24	51.94	53.56	52.17
26	51.98	53.56	52.40
28	52.17	53.56	52.40
30	52.30	53.56	52.40
32	52.40	53.56	52.40
34	52.63	53.56	52.63
36	52.63	53.56	52.63
38	52.87	53.56	52.63
40	52.87	53.56	52.63
42	52.87	53.56	52.87
44	52.87	53.56	52.87
46	53.00	53.56	52.87
48	53.00	53.56	52.87
50	53.00	53.56	53.10
52	53.00	53.56	53.10
54	53.00	53.56	53.10
56	53.00	53.56	53.10
58	53.00	53.56	53.10
60	53.00	53.56	53.10

Önce sistemin aldığı ısısı hesaplayalım :

$$\begin{aligned} Q &= m_{\text{su}} * C_{\text{p, su}} * (T_{\text{son}} - T_{\text{ilk}}) \\ &= 1150 * 1.01 (53-21) \\ &= 36.80 \text{ Kcal} \end{aligned}$$

Şimdide ortalama logaritmik sıcaklık farkını hesaplayalım :

$$(\Delta T)_m = \frac{\Delta T_1 - \Delta T_2}{\ln \left(\frac{\Delta T_1}{\Delta T_2} \right)} = \frac{32.56 - 0.56}{\ln \left(\frac{32.56}{0.56} \right)} = 7.88$$

Isı değiştiricinin alanı :

$$A = 3.14 * D * L = 3.14 * (0.005 \text{m}) (3.2 \text{m}) = 0.0502 \text{ m}^2$$

$$Q = U A \quad T_m \quad \text{formülünden} \quad U = \frac{Q}{A \Delta T_m} = \frac{36.80 \text{ Kcal/hr}}{0.0502 \text{ m}^2 (7.88 \text{ }^\circ\text{C})}$$

buradan $U = 93 \text{ Kcal/m}^2 \text{ hr } ^\circ\text{C}$ olarak hesaplanır.

3.4. Su ve Kalsiyum Klorür Nekzahidrat ile Isı Pompasında Yapılan Deney Sonuçları

6 Kg su ile yapılan deneyde ;

19.5 $^\circ\text{C}$ dan 39 $^\circ\text{C}$ 'a 50 dakikada ısıttı

39 $^\circ\text{C}$ dan 19.5 $^\circ\text{C}$ 'a 30 dakikada soğuttu

10 Kg $\text{CaCl}_2 \cdot 6\text{H}_2\text{O}$ ile yapılan deneyde ;

18.5 $^\circ\text{C}$ dan 33.5 $^\circ\text{C}$ 'a 150 dakikada ısıttı

33.5 $^\circ\text{C}$ dan 18.5 $^\circ\text{C}$ 'a 40 dakikada soğuttu

Deney sonuçlarından da görüldüğü gibi 10 Kg $\text{CaCl}_2 \cdot 6\text{H}_2\text{O}$ 'i eritmek için geçen zaman, aynı maddeyi kristallendirmek için geçen zamandan daha fazladır.

Bu durumu şu şekilde açıklayabiliriz : Isıtma durumunda devridaim akışkanı (Freon-22) buhar halinde, soğutma durumunda ise sıvı haldedir. Buharın sıvuya ısı transfer film katsayısı , sıvının sıvuya ısı transfer film katsayılarından küçük olduğundan , ısıtma soğutmaya göre daha uzun zamanda gerçekleşmektedir. Ayrıca evaporatörün yüzeyi (11 m^2) kondansörün yüzeyinden (20.7 m^2) küçüktür. Bu da ısıtmanın soğutmaya göre daha uzun bir zamanda olmasına neden olmaktadır.

Şimdide Isı pompasında ısı kaynağı olarak hava ve $\text{CaCl}_2 \cdot 6\text{H}_2\text{O}$ kullanıldığında elde edilen COP değerlerini hesaplayalım :

1- Isı kaynağı olarak $\text{CaCl}_2 \cdot 6\text{H}_2\text{O}$ ($e.n = 34$) kullanıldığında ;

$$\text{COP} = \frac{T_L}{T_H - T_L} = \frac{273 + 34}{(273+50) - (273+34)} + 1 = 20.18$$

2- Isı kaynağı olarak 5°C deki Hava kullanılırsa ;

$$\text{COP} = \frac{273 + 5}{(273+50) - (273+5)} + 1 = 7.17$$

3- Isı kaynağı olarak 10°C deki Hava kullanılırsa ;

$$\text{COP} = \frac{273 + 10}{(273+50) - (273+10)} + 1 = 8$$

burada ısıtılacak ortamın sıcaklığı 50°C olarak alındı.

Sonuçlardan da görüldüğü gibi en yüksek COP değeri ısı kaynağı olarak Kalsiyum klorür hekzahidrat kullanıldığında elde edildi.

BÖLÜM 4

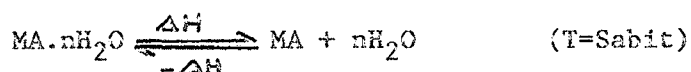
TARTIŞMA VE SONUÇ

Bölüm 1 de ayrıntılı olarak açıklandığı gibi ısı pompaları dışarıdan iş alarak düşük sıcaklıktaki bir ortamdan yüksek sıcaklıktaki bir ortama ısı nakletmek amacıyla kullanılırlar. Bu iki ortam arasındaki sıcaklık farkı ΔT ne kadar az olursa $COP = \frac{T_H}{T_H - T_L}$ formülü gereği COP değeri o oranda artar. Kaynak olarak hava kullanılsa bile daima $COP > 1$ dir. Ayrıca ısı pompalarının düzenli çalışmasına etkin olan en önemli faktör ortam sıcaklıklarının sabit olmasıdır. Isı kaynağı olarak sıcaklığı değişen bir ortam kullanılırsa kompresörün arıza yapma ihtimali artar.

Bu mahsurları ortadan kaldırmak için sıcaklığı sabit ve 40°C dan düşük olan bir ısı deposundan ısı alınarak ısıtılacak ortama nakledilmesi hem COP değerini artırır ($\text{CaCl}_2 \cdot 6\text{H}_2\text{O}$ için $COP = 20.18$) hemde kompresör arızalarını ortadan kaldırır.

Bu amacıyla, ısı depolama özelliklerine sahip tuz hidratlarının erime noktaları $\text{CaCl}_2 \cdot 6\text{H}_2\text{O}$ ($29-34^{\circ}\text{C}$), $\text{Na}_2\text{SO}_4 \cdot 10\text{H}_2\text{O}$ (31.6°C), $\text{Na}_2\text{CO}_3 \cdot 10\text{H}_2\text{O}$ ($32.2-36.1^{\circ}\text{C}$), $\text{Na}_2\text{HPO}_4 \cdot 12\text{H}_2\text{O}$ (36.1°C) ve Sodyum sülfat-Sodyum karbonat karışımının erime noktası $19-20^{\circ}\text{C}$ dir. Isı depolama kapasiteleri denel olara tayin edildi. (Tablo 3.1; 3.2; 3.3; 3.5; 3.4) Grafik 3.2; 3.1; 3.3; 3.4; 3.5 den de görüldüğü gibi tuz hidratlarının ısı absorpsiyonu sabit sıcaklıklarda gerçekleşmektedir. Bu durum pompanın düzenli çalışmasını sağlar. Tablo 3.6 da birim hacim tuz hidratının depolayacağı ısı miktarı görülmektedir. Bu tuz hidratları kapalı bir sistemde bulunacağından sistemin karıştırılması gereklidir. Aksi takdirde ısı değiştirici üzerinde kabuk teşekkül ederek ısı transferini güçleştirir. Isı depolayıcı maddenin zamanla azalma veya tükenme problemi olmadığından sabit yatırımlı maliyetine dahil edilir.

Bu tuz hidratlarının suyu bağlama ve bırakma olayı sıcaklığa bağlı reversibil bir olay olduğundan aşağıdaki model geçerlidir. Bu olay değişik sayıda kademelerden oluşsa bile aynı başlangıç ve sonuç için entalpi değişimini sabittir.



Sonuç olarak ısı pompalarıyla evlerin ısıtilmasının sağladığı avantajlara ilave olarak tuz hidratlarının ısı depolayıcı madde olarak kullanımı aşağıdaki avantajları sağlar.

- 1-İşı pompalarının kullanımının sağladığı avantajları sağlarlar.
- 2-İşı pompasının COF değerini artırır.
- 3-Güneş enerjisinin depolanarak kullanımını sağlar.
- 4-Atıl kalan enerjilerin değerlendirilmesi
- 5-Bu çalışmada kullanılan ısı pompa gibi dizayn edilenler hem ısıtma hemde soğutma imkanı verirler.
- 6-İşı pompasının sağlıklı çalışmasını sağlarlar.

Depo sisteminin dejavantajları :

- 1- Yatırım maliyetini artırır.
- 2- Korozyon problemi nedeni ile ısı değiştiricinin ömrü azalır.
- 3- İşi değiştirici yüzeyinde kabuk oluşması
- 4- İzolasyon masrafının artması.

Bu çalışmada, kullanılan tuz hidratlarından $\text{CaCl}_2 \cdot 6\text{H}_2\text{O}$ Solvay yöntemi ile Soda üretiminin atık maddesi olduğundan hem bu atıklar değerlendirilir hemde ısı depolama özelliği nedeniyle ısı pompaları için uygun bir depolama malzemesi olacağı sonucuna varılmıştır.

KAYNAKLAR

Anonymous, Saving of Energy In Refrication, International Institute of Refrigeration, Paris, 1980.

Aybers,N., Mühendislik Termodinamiğinin Esasları, İstanbul, 1980.

Boggarm,S.V.Setty, Economics of Heat Pumping, Ashrae Jor.,48-51,1979.

Böer,K.W., (Ed.) Sharing The Sun Solar Technology In The Seventies,1976.

CRC "Handbook of Chemistry and Physics" , CRC Press, 1982-83.

Etherington,T.L. and Schenectady,N.Y., A Dynamic Heat Storage System,
Heating Piping and Air Conditioning,December, 1957.

Gürüz,K., Kimya Mühendisliği Termodinamigi , Ankara, 1986.

Kakaç,s., Örneklerle Isı Tranferi , ODTÜ , 1981.

Perry,R.H. and Shilton,C.,(Ed.), "Chemical Engineer's Handbook" ,
MG-GRAW HILL Comp. 5th Edition, 1973.

Reay,D.A. ;Macmichael,D.B.A., Design and Aplication Heat Pumps, Pergamon
Press,London, 1979.

Sarkes,L.A.; Nicholls,J.A.; Menzer,M.S., "Gas Fired Heat Pumps An Emerging
Technology", ASHRAE Journal, pp.36-42, 1977.

Sumner,J.A., Domestic Heat Pumps , Prism Press Dorchester, 1976.

Telkes,M., Solar Energy Storage , ASHRAE Journal, 38-44, 1974.

Telkes,M., Nucleation of Supersaturated Inorganic Salt Solutions,
Ind. and Eng. Chem.,44,(6), 1308-1310, 1952.

ÖZGECMİŞ

1963 yılında Trabzon'un Çaykara ilçesinde doğdu. İlk ve ortaokulu Çaykara'da okudu. Lise tahsilini Trabzon'da tamamladı. 1980'de Konya Selçuk Üniversitesi Müh-Mim. Fakültesi Kimya Mühendisliğine kayıt yaptırdı. 1984 de Kimya Mühendisi olarak mezun oldu. 1985 yılında K.T.Ü Fen-Edebiyat Fakültesi Kimya Bölümünde Yüksek Lisansa başladı. Aynı yıl Kimya Bölümünde açılan Araştırma Görevliliği imtihanını kazandı. Halen bu görevi sürdürmektedir.

T. C.
Yükseköğretim Kurulu
Dokümantasyon Merkezi